

The background of the slide is a technical drawing, likely a mechanical or structural plan, featuring various lines, dimensions, and annotations. A yellow ruler is placed horizontally across the upper portion of the drawing, and a yellow pencil lies diagonally across the lower portion. The text is overlaid on a semi-transparent white rectangular area.

Wyznaczanie powierzchni widocznych

Mirośław Głowacki
Akademia Górniczo-Hutnicza w Krakowie

A detailed architectural drawing of a building's structural frame is shown. The drawing includes various dimensions, such as 1782, 306, 850, 1150, 1414, 2338, 1521, 1048, 1100, 2919, 2919, 333, 15, 16, 17, 18, 19, 20, 21, 22, 23, 24, 25, 26, 27, 28, 29, 30, 31, 32, 33, 34, 35, 36, 37, 38, 39, 40, 41, 42, 43, 44, 45, 46, 47, 48, 49, 50, 51, 52, 53, 54, 55, 56, 57, 58, 59, 60, 61, 62, 63, 64, 65, 66, 67, 68, 69, 70, 71, 72, 73, 74, 75, 76, 77, 78, 79, 80, 81, 82, 83, 84, 85, 86, 87, 88, 89, 90, 91, 92, 93, 94, 95, 96, 97, 98, 99, 100. A yellow ruler is placed horizontally across the drawing, and a yellow pencil is positioned diagonally over it. The text "Wiadomości wstępne" is overlaid in red on a semi-transparent white background.

Wiadomości wstępne

Treść wykładu

- Dwa główne typy algorytmów:
 - algorytmy z precyzją **ekranową**
 - algorytmy z precyzją **obrazową**
- Wykorzystywane metody
 - spójność
 - problem przekształcenia **perspektywicznego**
 - **bryły** i **prostokąty** ograniczające
 - **przednie** i **tylne** ściany wielokątów
 - podział adaptacyjny - **hierarchia**
- Podstawowe algorytmy stosowane w praktyce:
 - algorytm **z-bufora**
 - algorytm **przeglądania**
 - metoda **śledzenia promieni**
 - algorytm **podziału przestrzennego**
 - algorytm drzewa binarnego podziału przestrzeni
 - algorytm podziału powierzchni **Warnocka**
 - algorytm z **listą priorytetów**
 - algorytm **sortowania** ze względu na głębokość
 - algorytmy wyznaczania **powierzchni krzywoliniowych**

Wyznaczanie powierzchni widocznych

- Ten proces jest znany jako
 - *wyznaczanie linii* albo *powierzchni widocznych* albo
 - *eliminowanie linii* albo *powierzchni niewidocznych*
- Zakłada się, że linie są **krawędziami** powierzchni **nieprzezroczystych**, które mogą **zastępować krawędzie** innych powierzchni znajdujących się dalej od obserwatora

Wyznaczanie powierzchni widocznych

- Dlatego mówimy o ogólnym procesie jako o *wyznaczaniu powierzchni widocznych*
- Chociaż ta podstawowa zasada jest **prosta**, jej realizacja wymaga *znacznej mocy obliczeniowej*
- W konsekwencji wymaga *dużego czasu* obliczeniowego na konwencjonalnych maszynach

Wyznaczanie powierzchni widocznych

- Dwa podstawowe podejścia do rozwiązania tego problemu.
- W obu przypadkach możemy traktować obiekt jako składający się z jednego albo większej liczby wielokątów (albo bardziej złożonych powierzchni).

Pierwsze podejście

- W pierwszym podejściu określa się, **który** z n **obiektów** jest **widoczny** w **każdym pikselu** obrazu
- Pseudokod dla tego podejścia wygląda następująco:

for (każdy **piksel** obrazu)

{

wyznaczyć obiekt **najbliższy obserwatora**, który jest napotkany przez **promień** rzutowania przechodzący przez piksel;

narysować **piksel** o odpowiedniej **barwie**;

}

Pierwsze podejście

- Bezpośredni sposób wykonania tego dla jednego piksela wymaga sprawdzenia **wszystkich n obiektów** w celu ustalenia, który leży **najbliżej** obserwatora wzdłuż promienia rzutowania przechodzącego przez piksel
- Dla p pikseli **nakład** jest proporcjonalny do **np** , przy czym **p jest większe niż 1 milion** dla monitora o **przeciętnie dużej** rozdzielczości

Drugie podejście

- Polega na **porównywaniu obiektów** bezpośrednio każdy z każdym i **eliminowaniu** tych **obiektów** albo ich **części**, które są **niewidoczne**
- Możemy to wykonać w sposób **bezpośredni**, porównując **każdy** z n obiektów ze **sobą** i z **innymi** obiektami i **odrzucać niewidoczne** części

Drugie podejście

- **Nakład** obliczeniowy jest tu proporcjonalny do n^2
- Choć to drugie podejście mogłoby się **wydawać lepsze** dla $n \ll p$, to jego poszczególne kroki są na ogół:
 - bardziej **złożone**,
 - zajmują **więcej** czasu,
 - w efekcie metoda często jest **wolniejsza i trudniejsza** w implementacji.

Drugie podejście

- Można to przedstawić za pomocą pseudokodu:

for (każdy **obiekt**)

{

wyznaczyć **te części** obiektu, których **rzut nie jest zasłonięty** przez inne części tego lub innych obiektów;

narysować te części z wykorzystaniem odpowiedniej **barwy**;

}

Precyzja obrazowa i obiektowa

- Te dwa prototypowe **podejścia** będziemy określali odpowiednio jako:

- algorytm z **precyzją obrazową**
- algorytm z **precyzją obiektową**

- Algorytm z precyzją **obrazową** są na ogół wykonywane z **dokładnością**, jaką ma **urządzenie** wyświetlające, i określają **widoczność** w **każdym pikselu**
- Algorytmy z precyzją **obektową** są wykonywane z **dokładnością**, z jaką jest zdefiniowany każdy **obiekt**, i określają **widoczność** każdego **obektu**

Precyzja obrazowa i obiektowa

- Ponieważ obliczenia z precyzją **obiekтовую** są wykonywane **bez względu na rozdzielczość** określonego wyświetlacza, musi po nich **następować krok**, w którym obiekty są **faktycznie wyświetlane** z wymaganą rozdzielczością
- Tylko ten **ostatni krok** wyświetlania musi być **powtarzany**, jeżeli trzeba **zmienić** na przykład **wielkość** skończonego **obrazu** po to, żeby pokryć inną liczbę pikseli na monitorze rastrowym
- Wynika to stąd, że **geometria** każdego **rzutu** obiektu widocznego jest reprezentowana z **pełną rozdzielczością bazy danych** obiektu

Precyzja obrazowa i obiektowa

- Dla kontrastu rozważmy **powiększanie** obrazu utworzonego przez algorytm z **precyzją obrazową**
- Ponieważ **obliczenia** związane z powierzchnią widoczną były wykonane początkowo z **małą rozdzielczością**, muszą być wykonane **ponownie**, jeżeli chcemy pokazać dalsze szczegóły
- Dlatego algorytmy z precyzją **obrazową** są **narażone** na powstawanie **zakłóceń** przy wyznaczaniu widoczności, podczas gdy algorytmy z precyzją **obiekтовую** nie

Precyzja obrazowa i obiektowa

- W przeszłości:
 - Wyświetlacze wektorowe miały duże przestrzenie adresowe (4096 x 4096 nawet we wczesnych systemach) i ostre ograniczenia, jeśli chodzi o liczbę odcinków i obiektów, które mogły być wyświetlane.
 - Wyświetlacze rastrowe miały ograniczoną przestrzeń adresową (256 x 256 we wczesnych systemach) i zdolność do wyświetlania potencjalnie nieograniczonej liczby obiektów
- W późniejszych algorytmach często łączono obliczenia z precyzją obiektową z obliczeniami z precyzją obrazową
 - obliczenia z precyzją obiektową były wybierane ze względu na dokładność
 - obliczenia z precyzją obrazową ze względu na szybkość

Wykorzystywane własności obiektów

Spójność

- Algorytmy wyznaczania powierzchni widocznych mogą wykorzystywać **spójność** – stopień, w jakim **fragmenty sceny** albo ich **rzuty** wykazują **lokalne podobieństwa**
- Sceny na ogół zawierają **obiekty**, których **właściwości zmieniają się gładko** (nie skokowo) od jednej części do drugiej.
- **Spójność** jest występującym **brakiem nieciągłości** właściwości takich jak
 - głębokość,
 - barwa,
 - tekstura
- i **efektów**, które one wytworzą w obrazach, umożliwiającich rozróżnienie obiektów

Spójność

- Spójność wykorzystujemy wówczas, gdy ponownie korzystamy z obliczeń wykonywanych dla jednej części otoczenia albo obrazu w stosunku do innych bliskich części:
 - albo bez zmian
 - albo z przyrostowymi zmianami,
- Są one bardziej efektywne do wykonania niż przetwarzanie informacji na nowo

Spójność

- Zidentyfikowano wiele różnych rodzajów spójności:
 - spójność obiektów
 - spójność ściany
 - spójność krawędzi
 - implikowana spójność krawędzi
 - spójność liniowa
 - spójność powierzchni
 - spójność głębokości
 - spójność ramek

Spójność obiektów

- Jeżeli jeden obiekt jest **całkowicie odseparowany** od drugiego, to może być potrzebne wykonanie **porównań tylko między tymi dwoma obiektami**, a nie między ich ścianami składowymi albo krawędziami.
- Na przykład, **jeżeli wszystkie** części obiektu *A* są **dalej** od obserwatora niż **wszystkie** części obiektu *B*, to **żadna ze ścian *A* nie musi** być porównywana ze ścianami *B* w celu sprawdzenia, czy zasłaniają one ściany *B*.

Spójność ściany

- Właściwości powierzchni na ogół **zmieniają się gładko** na powierzchni, dzięki czemu obliczenia dla **jednej części ściany** można modyfikować **przyrostowo** w celu zastosowania do sąsiednich części
- W niektórych modelach może **istnieć gwarancja**, że ściany **nie przenikają się**

Spójność krawędzi

- **Widoczność krawędzi** może zmieniać się tylko tam, gdzie przecina ona widoczną krawędź albo przecina inną widoczną ścianę
- **Implikowana spójność krawędzi**. Jeżeli jedna płaska ściana przecina drugą, to ich linia przecięcia (**implikowana krawędź**) może być określona na podstawie dwóch punktów przecięcia

Spójność liniowa i powierzchni

- **Spójność liniowa**. Zbiór widocznych odcinków obiektu określony dla jednej linii obrazu na ogół niewiele się różni od zbioru dla poprzedniej linii.
- **Spójność powierzchni**. Grupa sąsiednich pikseli jest często pokryta przez tę samą widoczną ścianę
- Specjalnym rodzajem spójności powierzchni jest *spójność segmentowa*, która odnosi się do widoczności ściany w obrębie segmentu sąsiednich pikseli w linii

Spójność głębokości

- Sąsiednie części tej samej powierzchni mają na ogół *podobną odległość* od obserwatora (**głębokość**), podczas gdy **różne powierzchnie** w tym samym miejscu ekranu mają na ogół **znacznie różniące się** głębokości
- Po obliczeniu **głębokości jednego punktu** na powierzchni, głębokość **punktów pozostałej** części powierzchni może być często określona za pomocą prostego **równania różnicowego**

Spójność ramek

- Jest **prawdopodobne**, że obrazy **tej samej sceny** w dwóch **kolejnych chwilach** są **bardzo podobne**, mimo niewielkich zmian obiektów i punktu obserwacji
- Obliczenia wykonane dla **jednego obrazu** mogą być **użyte dla kolejnego** obrazu w sekwencji

Przekształcenie perspektywiczne

- Określenie powierzchni widocznych musi nastąpić oczywiście w przestrzeni 3D **przed rzutowaniem** na płaszczyznę 2D
- Rzutowanie, które **niszczy** informację o **głębokości** potrzebną dla porównań głębokości.
- Niezależnie od rodzaju wybranego rzutu podstawowe porównanie głębokości w punkcie może być na ogół sprowadzone do następujących pytań:

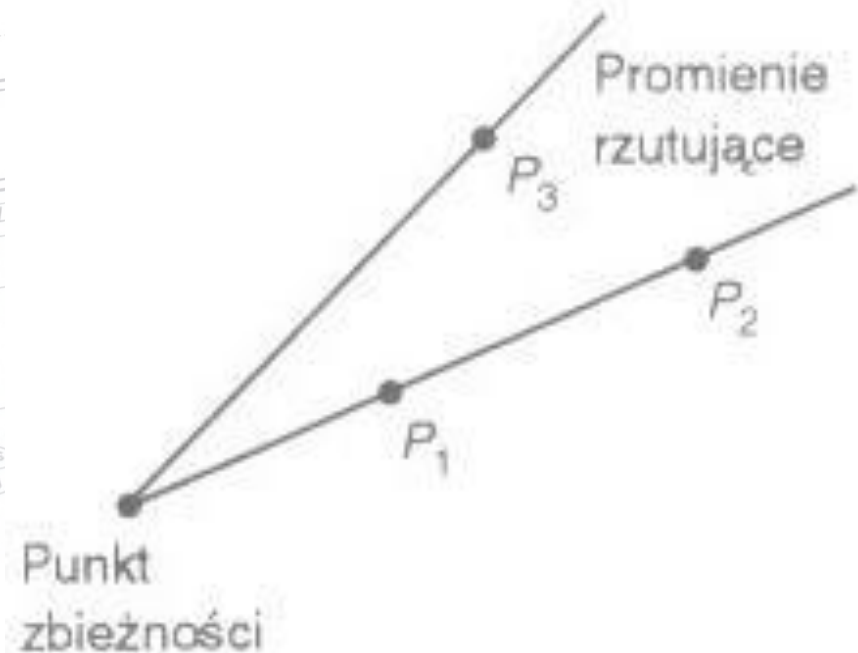
1. Czy jeden z dwóch punktów

$$P_1 = (x_1, y_1, z_1)$$

$$P_2 = (x_2, y_2, z_2)$$

zastania drugi?

2. Czy leżą one na tym samym promieniu rzutującym?



Przekształcenie perspektywiczne

- Jeżeli tak, to porównuje się je w celu określenia, który z punktów jest bliżej obserwatora.
- Jeżeli **nie**, to żaden punkt nie zasłania drugiego.
- Porównania głębokości są na ogół wykonywane po **zastosowaniu** przekształcenia **normalizującego**, tak że promienie rzutujące są:
 - **równoległe** do osi z w rzucie równoległym
 - albo **wychodzą z punktu** zbieżności dla rzutu perspektywicznego
- W rzucie równoległym punkty są na tym samym promieniu rzutowania, jeżeli:

$$x_1 = x_2 \quad y_1 = y_2$$

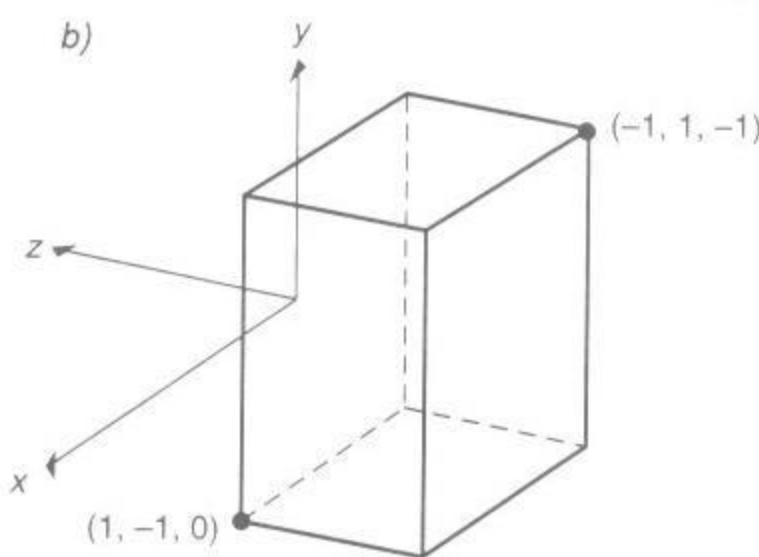
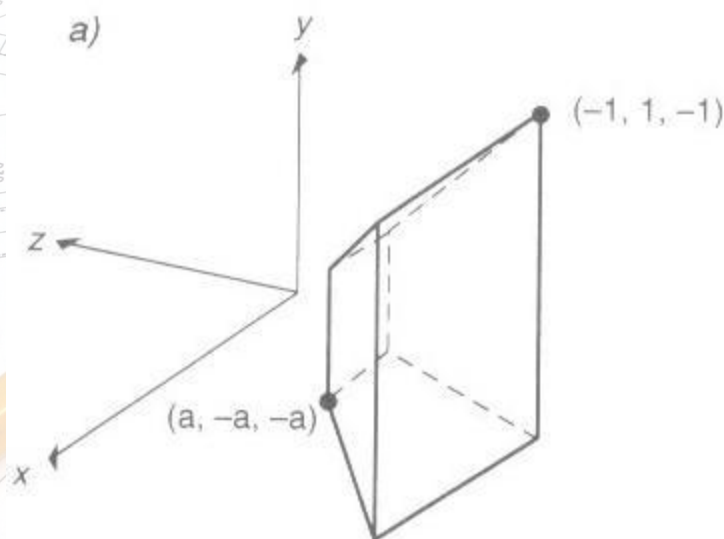
- Dla rzutu perspektywicznego musimy, niestety, wykonać cztery dzielenia w celu sprawdzenia, czy

$$x_1/z_1 = x_2/z_2 \quad y_1/z_1 = y_2/z_2$$

- Jeśli tak, to punkty leżą na tym samym promieniu rzutowania

Przekształcenie perspektywiczne

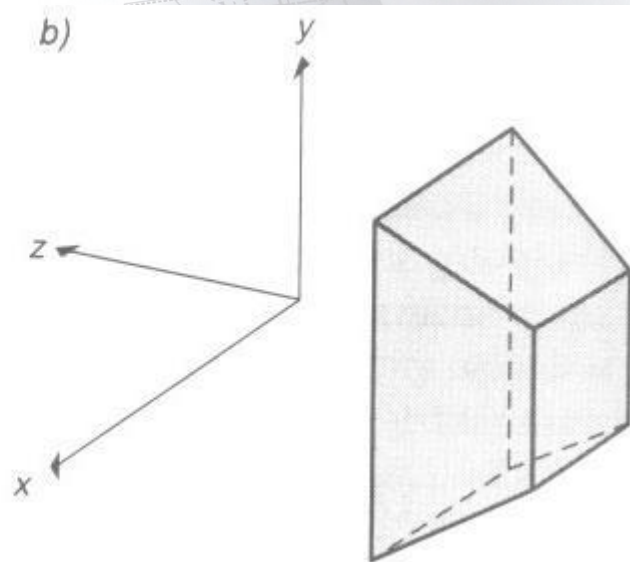
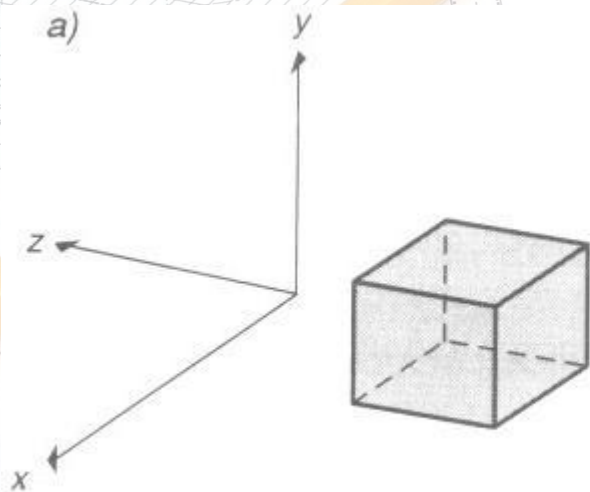
- Niepotrzebnych dzieleni można uniknąć dokonując najpierw przekształcenia **obiektu 3D** w układ **współrzędnych ekranu 3D**
- Rzut **równoległy przekształconego** obiektu będzie taki sam jak rzut **perspektywiczny nieprzekształconego** obiektu.
- Wtedy **test sprawdzający** przesłanianie punktów jest **taki sam** jak w rzucie równoległym.



Znormalizowana bryła widzenia perspektywicznego przed i po przekształceniu perspektywicznym

Przekształcenie perspektywiczne

- Przekształcenie perspektywiczne **zniekształca obiekty** i **przesuwa środek** rzutowania do **nieskończoności** na osi **z** i **promienie** rzutowania stają się **równoległe**.
- Na rysunku pokazano **zniekształcenie**, jakiemu ulega **sześcian** przy tym przekształceniu.



Przekształcenie perspektywiczne

- Istotą tego przekształcenia jest to, że **zachowuje**:
 - **względną głębokość**,
 - odcinki i płaszczyzny i
 - równocześnie wykonuje perspektywiczny skrót.
- Dzielenie** prowadzące do tego skrótu jest wykonywane tylko **raz** dla punktu, a nie za każdym razem, gdy dwa punkty są porównywane.

- Macierz

$$M = \begin{bmatrix} 1 & 0 & 0 & 0 \\ 0 & 1 & 0 & 0 \\ 0 & 0 & \frac{1}{1+z_{min}} & \frac{-z_{min}}{1+z_{min}} \\ 0 & 0 & -1 & 1 \end{bmatrix} \quad z_{min} \neq -1$$

przekształca znormalizowaną bryłę widzenia
perspektywicznego w prostopadłościan ograniczony przez:

$$-1 \leq x \leq 1, \quad -1 \leq y \leq 1, \quad -1 \leq z \leq 0$$

Przekształcenie perspektywiczne

- Przed zastosowaniem macierzy **M** można **wykonać obcinanie** względem znormalizowanej bryły widzenia, czyli ostrosłupa ściętego, ale wtedy wyniki obcinania muszą być pomnożone przez **M**.
- **Atrakcyjniejsze** rozwiązanie polega na **włączeniu M do normalizującego przekształcenia perspektywicznego**
- Wtedy potrzebne jest tylko jedno mnożenie przez macierz, a potem obcinanie we współrzędnych jednorodnych przed dzieleniem.
- Jeżeli wyniki mnożenia oznaczmy jako (X, Y, Z, W)

to dla granice obcinania będą następujące:

$$-W \leq X \leq W, \quad -W \leq Y \leq W, \quad -W \leq Z \leq 0$$

Przekształcenie perspektywiczne

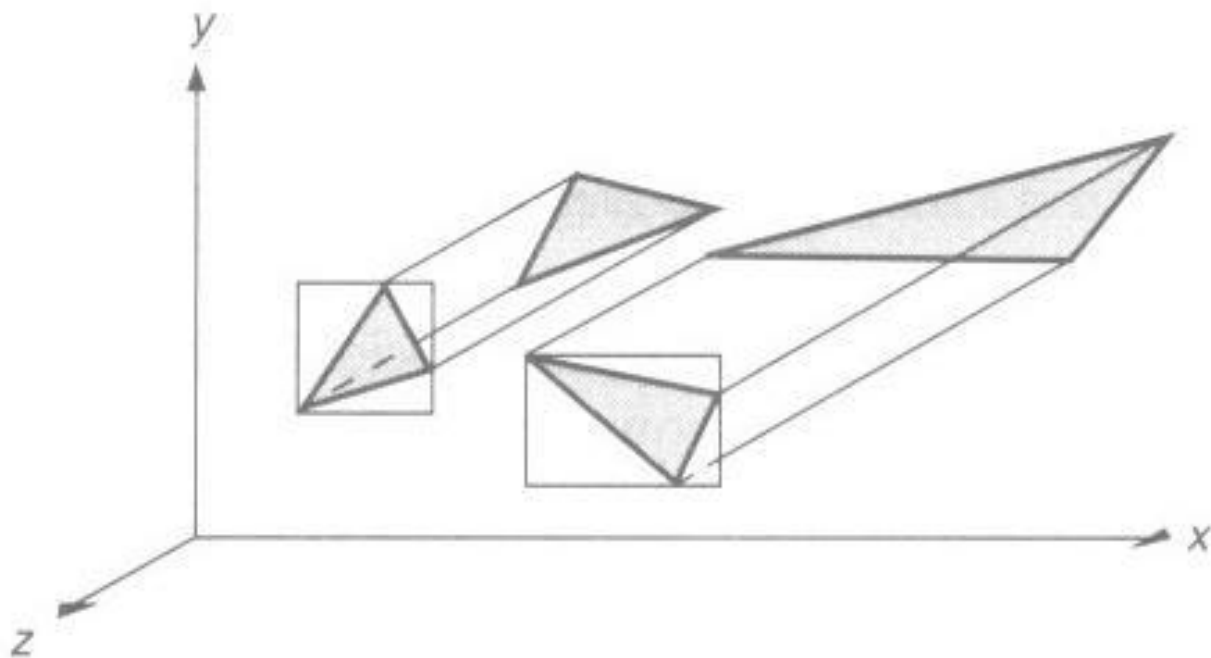
- Te **ograniczenia** wynikają z równania dla układu **rzeczywistego**, w którym zastąpi się x , y i z odpowiednio przez x/W , y/W i z/W .
- Macierz **M** została zapisana przy założeniu, że bryła widzenia jest w **ujemnej** półprzestrzeni z .
- Ze względu jednak na **wygode zapisu** w naszych przykładach będą często używane raczej **malejące dodatnie wartości z** niż malejące ujemne wartości z po to, żeby pokazać **rosnącą odległość** od obserwatora.
- W wielu systemach graficznych zamiast prawoskrętnego układu współrzędnych korzysta się z **lewoskrętnego** układu współrzędnych widzenia, w którym **rosnące dodatnie wartości z** odpowiadają **zwiększającej** się odległości od obserwatora.

Przekształcenie perspektywiczne

- Możemy teraz wyznaczyć powierzchnie **widoczne** bez **obawy** przed komplikacjami sugerowanymi przez wzajemne zasłanianie punktów na wspólnej prostej.
- Oczywiście w przypadku rzutu **równoległego** przekształcenie perspektywiczne **M** **nie jest konieczne**, ponieważ przekształcenie normalizujące dla rzutu równoległego powoduje, że **promienie** rzutowania są **równoległe** do osi z .

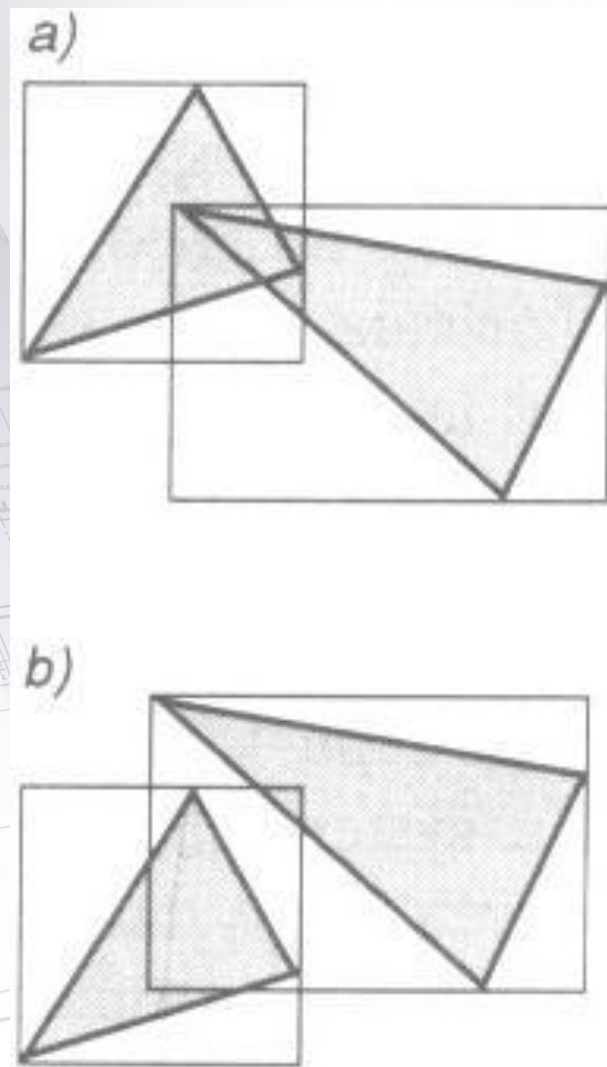
Prostokąty i bryły ograniczające

- **Prostokąty ograniczające** wprowadzone w celu uniknięcia **niepotrzebnego obcinania** są również często używane, aby uniknąć **niepotrzebnych porównań** obiektów albo ich rzutów.
- Na rysunku pokazano **dwa obiekty** (wielokąty 3D), ich rzuty i prostokąty opisane na nich o bokach równoległych do osi.



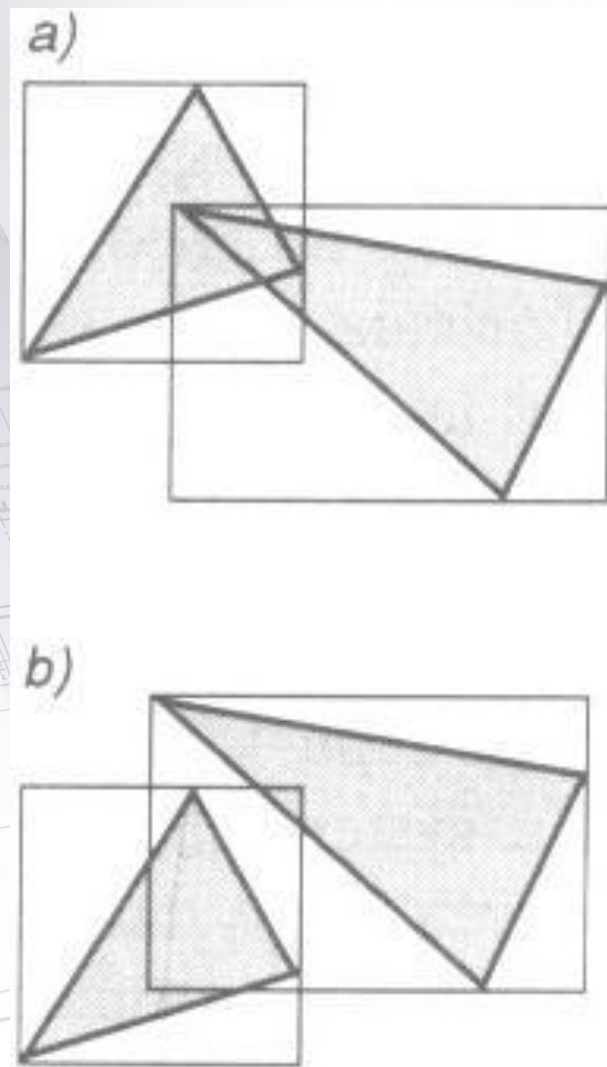
Prostokąty i bryły ograniczające

- Zakłada się, że obiekty mają być **poddane** przekształceniu **perspektywicznemu** za pomocą macierzy **M**.
- Dla wielokątów rzut **prostokątny** na płaszczyznę (x,y) jest wykonywany w sposób **trywialny** na zasadzie pominięcia współrzędnych z wierzchołków.
- Jeżeli prostokąty ograniczające **nie nachodzą** na siebie **nie trzeba** wykonywać testowania rzutów ze względu na przecinanie się ich **ze sobą**.
- Jeżeli prostokąty ograniczające przecinają się, to może wystąpić jedna z dwóch sytuacji
 - albo rzuty przecinają się jak na rys. a)
 - albo nie przecinają się jak na rys. b)



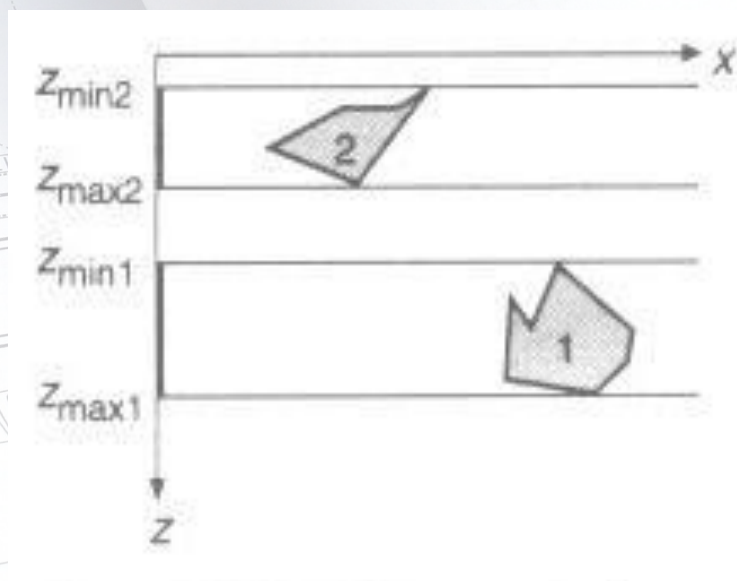
Prostokąty i bryły ograniczające

- W obu przypadkach **trzeba** wykonać **więcej porównań** w celu sprawdzenia, czy rzuty się przecinają.
- W sytuacji z rysunku b) wynik porównań pokaże, że dwa **rzuty nie przecinają** się, co oznacza, że fakt przecinania się prostokątów ograniczających był **fałszywym alarmem**.
- Testowanie prostokątów ograniczających daje w efekcie to samo co w przypadku **testów odrzucania** przy obcinaniu.



Prostokąty i bryły ograniczające

- Prostokąty ograniczające mogą być używane, do **otaczania** samych **obiektów**, a **nie** ich **rzutów**
- W takim przypadku miejsce prostokąta zajmuje bryła określana jako **bryła ograniczająca**.
- Można także koncepcję prostokąta ograniczającego **przenieść** do **jednego wymiaru** w celu określenia, czy na przykład dwa obiekty **nachodzą** na siebie **we współrzędnej z**.
- Na rysunku pokazano **wykorzystanie koncepcji** w takim przypadku – obszar ograniczający jest **nieskończoną objętością** ograniczającą wartość **minimalną** i **maksymalną** z dla każdego obiektu.

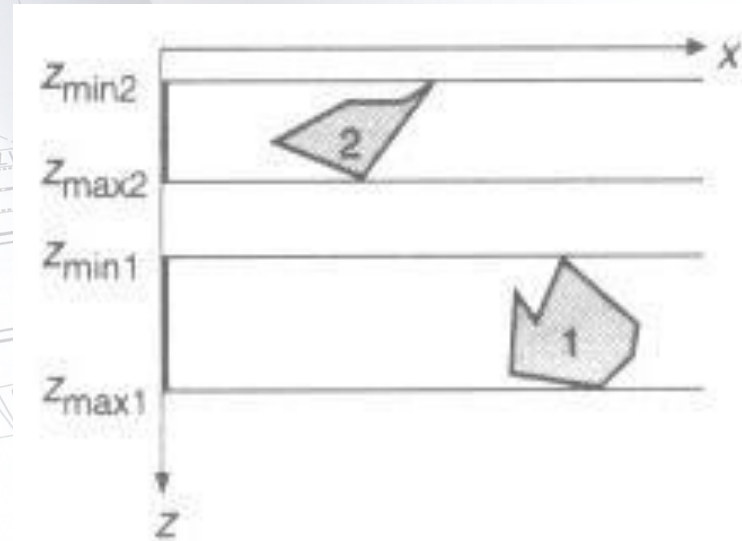


Prostokąty i bryły ograniczające

- Nie ma nakładania się obiektów we współrzędnej z, jeżeli:

$$Z_{max2} < Z_{min1} \text{ lub } Z_{max1} < Z_{min2}$$

- Porównywanie wartości ograniczeń minimalnej i maksymalnej w jednym lub więcej wymiarach jest znane jako **testowanie min-max**.
- Przy porównywaniu typu **min-max** obszarów ograniczających najbardziej skomplikowaną częścią pracy jest **znalezienie samych obszarów ograniczających**.



Prostokąty i bryły ograniczające

- Dla **wielokątów** i innych obiektów, które są **całkowicie zawarte** w wypukłym wielokącie opisanym na zbiorze definiujących punktów, obszar ograniczający można obliczyć przeszukując **iteracyjnie** listę współrzędnych punktów i rejestrując **największe** i **najmniejsze** wartości dla każdej **współrzędnej**.
- Obszary ograniczające są używane do:
 - porównywania dwóch **obiektów**
 - porównywania ich **rzutów**,
 - określania, czy **promień** rzutowania **przecina** obiekt
- Wiąże się to z obliczaniem **przecięcia** punktu z rzutem **2D** albo **wektora** z obiektem **3D**.

Prostokąty i bryły ograniczające

- Dotychczas omawialiśmy tylko obszary **ograniczające** typu *min-max*, możliwe jest użycie **innych brył** ograniczających.
- Jakiej bryły użyć najlepiej? Odpowiedź zależy:
 - od **kosztu** wykonywania **testów** na samej bryle ograniczającej,
 - od tego, jak dobrze **bryła zabezpiecza** otaczany obiekt przed testami, które nie dają przecięcia.
- Weghorst, Hooper i Greenberg traktują wybór bryły ograniczającej jako problem **minimalizacji** całkowitej funkcji **kosztu** T **testu** przecięcia dla obiektu.

Prostokąty i bryły ograniczające

- Można to wyrazić jako

$$T = bB + oO$$

- przy czym
 - b jest liczbą określającą, ile razy **bryła** ograniczająca jest testowana ze względu na **przecięcie**,
 - B jest **kosztem** wykonania **testu** przecięcia z bryłą ograniczającą,
 - o jest liczbą określającą, ile razy **obiekt** jest **testowany** ze względu na przecięcie (ile razy rzeczywiście jest przecinana bryła ograniczająca),
 - O jest **kosztem** wykonania **testu** przecięcia obiektu.

Prostokąty i bryły ograniczające

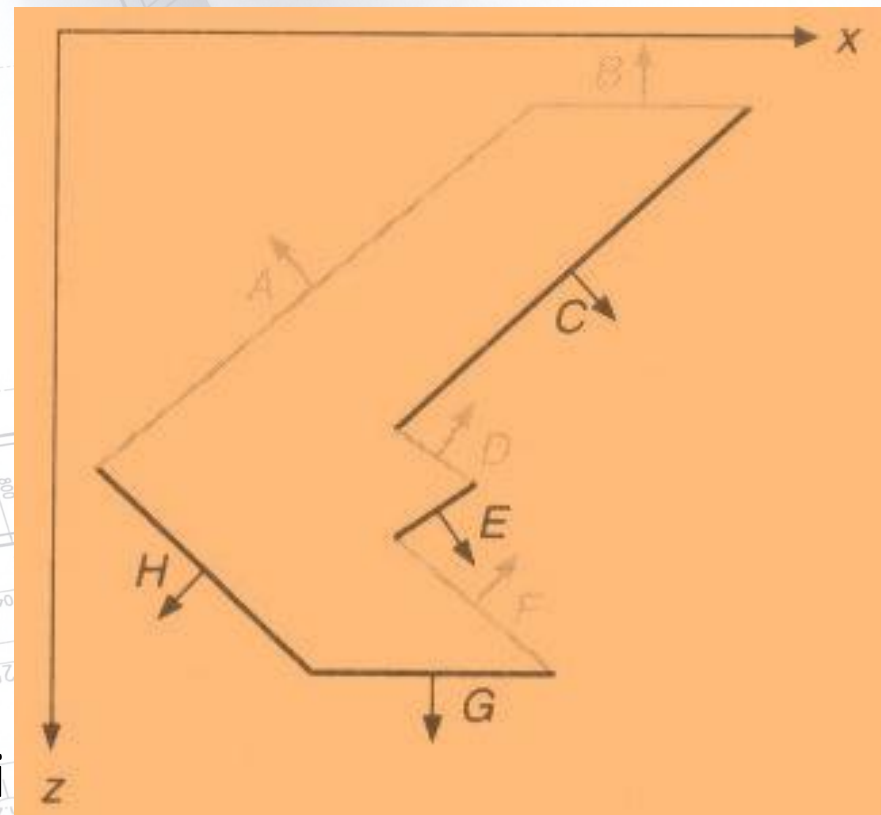
- Ponieważ **test** przecięcia obiektu jest wykonywany **tylko wówczas**, gdy rzeczywiście jest przecinana bryła ograniczająca, to

$$o \leq b$$

- O i b są **stałymi** dla określonego obiektu
- Jest wykonywany zbiór testów
- B i o **zmieniają** się zależnie od **kształtu** i **wielkości** bryły ograniczającej.
- Im **ciaśniejsza** jest **bryła** ograniczająca, co minimalizuje o , tym na ogół jest **większe** B .
- Efektywność bryły** ograniczającej może również zależeć od **orientacji** obiektu albo **rodzaju** obiektów, z którymi obiekt będzie przecinany.

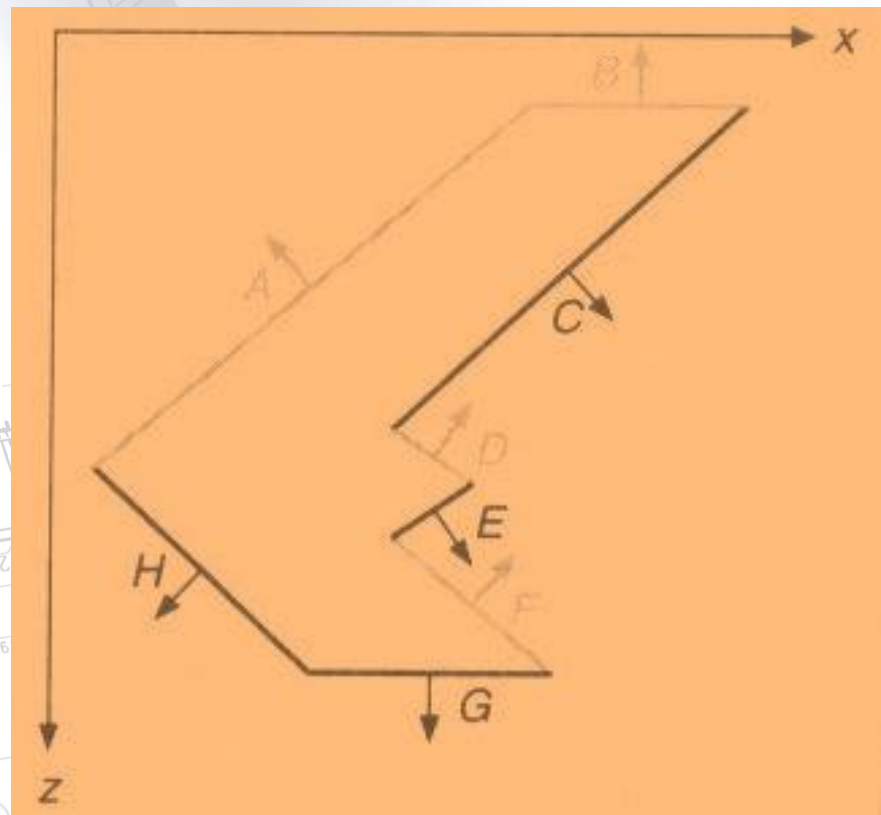
Wybieranie tylnych ścian

- Jeżeli obiekt jest **aproksymowany** przez **wielościan**, to jego ściany wielokątowe całkowicie otaczają jego wnętrze.
- Załóżmy, że wszystkie wielokąty zostały tak zdefiniowane, że ich **normalne** są skierowane **na zewnątrz** wielościanu.
- Jeżeli **żadna część wnętrza** wielościanu nie jest widoczna przez **przednią** płaszczyznę obcinającą, to te wielokąty, których normalne są skierowane **od obserwatora**, leżą w tej części wielościanu, której **widoczność** jest całkowicie **zablokowana** przez bliższe wielokąty.



Wybieranie tylnych ścian

- Takie *wielokąty niewidoczne* można wyeliminować z dalszego procesu za pomocą metody *wybijania tylnych ścian*.
- Przez analogię te wielokąty, które *nie są tylnymi*, są określane jako *przednie ściany*.
- Na rysunku eliminowane są wielokąty skierowane *do tyłu* (A, B, D, F),
- Wielokąty skierowane *do przodu* (C, E, G, H) są zachowane



Wybieranie tylnych ścian

- We współrzędnych oka **tylny wielokąt** może być zidentyfikowany przez **nieujemny** iloczyn skalarny **normalnej** powierzchni i wektora od **punktu zbieżności** do dowolnego punktu wielokąta.
- Iloczyn skalarny jest:
 - **dodatni** dla **tylnego** wielokąta
 - **zerowy** dla wielokąta widzianego jako krawędź
- Promień rzutujący przechodzący przez wielościan przecina **taką samą** liczbę wielokątów skierowanych do **tyłu** jak wielokątów skierowanych do **przodu**.
- **Punkt w rzucie** wielościanu leży na rzutach **takiej samej** liczby wielokątów skierowanych do tyłu jak wielokątów skierowanych do przodu.
- Dlatego **wybieranie** wielokątów skierowanych do **tyłu** zmniejsza o **połowę** liczbę wielokątów, które trzeba wziąć pod uwagę dla każdego piksela w algorytmie powierzchni widocznych z precyzją obrazową.
- **Średnio** około **połowa** wielokątów w wielościanie jest skierowana do **tyłu**.

Podział przestrzenny

- Podział przestrzenny umożliwia **rozbić** dużego problemu na kilka mniejszych.
- Podstawowe podejście polega na **przypisaniu obiektów** albo ich **rzutów** do **przestrzennie spójnych grup** w czasie przetwarzania wstępnego.
- Na przykład możemy podzielić **rzutnię** regularną **siatką** prostokątną **2D** i określić, w **której komórce** siatki leży **rzut** obiektu.
- Rzuty muszą być porównane ze względu na **nakładanie** się tylko z **innymi rzutami**, które znajdują się w odpowiednich polach siatki.

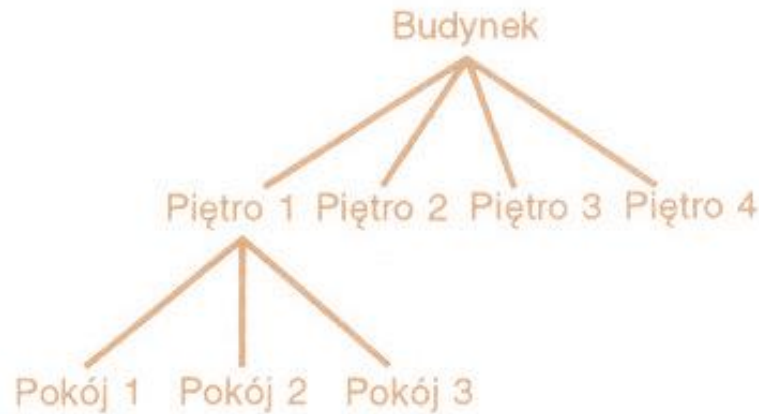
Podział przestrzenny

- Podział przestrzenny może być używany do nakładania **regularnej siatki 3D** na **obiekty** w środowisku.
- Proces określania, które obiekty są przecinane przez promień rzutujący, można wobec tego **przyspieszyć** przez
 - wstępne określenie, które **części** przecina promień,
 - późniejsze testowanie **tylko tych** obiektów, które leżą w tych częściach.
- Jeżeli obrazowane obiekty są **nierównomiernie** rozłożone w **przestrzeni**, to efektywniejsze może być stosowanie **podziału adaptacyjnego**, w którym **wielkość** każdej **części** zmienia się.

Podział adaptacyjny

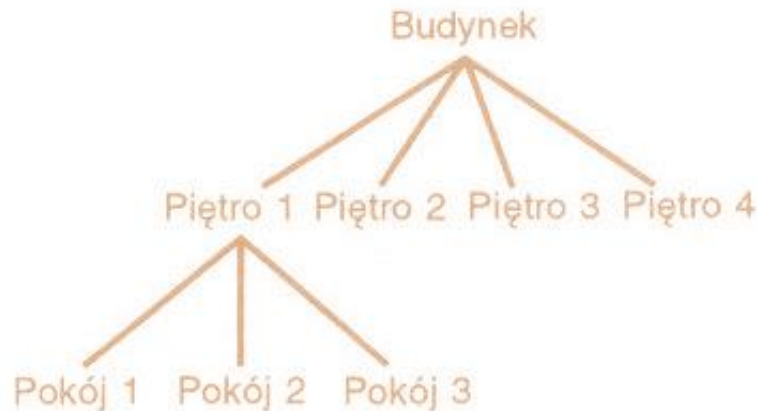
- Jedno z podejść do podziału adaptacyjnego polega na tym, żeby **dzielić przestrzeń rekursywnie**, dopóki dla każdej części nie zostanie spełnione pewne kryterium zakończenia podziału – na przykład osiągnięcie w danej części pewnej **dopuszczalnie dużej** liczby obiektów.
- Szczególnie atrakcyjne dla tego celu są **drzewa czwórkowe, drzewa ósemkowe i drzewa BSP**.

Hierarchia



- Hierarchia może być użyteczna do wiązania struktury i ruchu różnych obiektów.
- Zagnieżdżony model hierarchiczny, w którym każdy potomek jest traktowany jako część swojego przodka, może być również użyty do ograniczenia liczby porównań obiektów, które są potrzebne w algorytmie powierzchni widocznych.
- Obiekt na jednym poziomie hierarchii może służyć jako rozszerzenie dla swoich potomków, jeżeli są oni całkowicie w nim zawarci, jak pokazano na rysunku.

Hierarchia



- Jeżeli dwa obiekty w hierarchii **nie przetną** się, to obiekty **potomne jednego** z tych przodków nie muszą być testowane na przecięcie z obiektami będącymi **potomkami drugiego**.
- Podobnie, jeżeli stwierdzi się, że **promień rzutujący przecina obiekt w hierarchii**, to musi być testowany na **przecięcie z potomkami** obiektu.
- Takie **wykorzystanie hierarchii** jest ważną odmianą **spójności obiektu**.
- Na rysunku, gdy promień rzutujący **przecina budynek** i podłogę, trzeba wykonać **testowanie** przecięć z **pokojami** od 1 do 3

The image shows a detailed architectural floor plan of a building, likely a terminal or industrial facility, with various rooms, corridors, and structural elements. A yellow ruler is placed horizontally across the upper left portion of the drawing, and a yellow pencil lies diagonally across the lower left. The drawing includes numerous dimension lines and numerical values. A semi-transparent white rectangular box is overlaid on the right side of the image, containing the text 'Algorytm z-bufora' in red. The background is a light blue surface.

Algorytm z-bufora

Algorytm z-bufora

- Podczas odwzorowywania trójwymiarowej sceny na obraz dwuwymiarowy **jednostka rasteryzująca przechowuje wyniki** swojej pracy w wydzielonej pamięci lokalnej akceleratora 3D, nazywanej **buforem ramki** (ang. frame buffer).
- To właśnie z tego obszaru w ostatniej fazie generowania obrazu na **ekran** monitora wysłana zostanie gotowa, **pojedyncza klatka** tworzonej sceny 3D.
- W pamięci RAM karty graficznej wydzielona zostaje również **matryca odpowiadająca** swoją wielkością **rozdzielczości ekranu**, a **głębokością 16, 24 lub 32 bitom**, w zależności od zastosowanej głębi współrzędnej z.

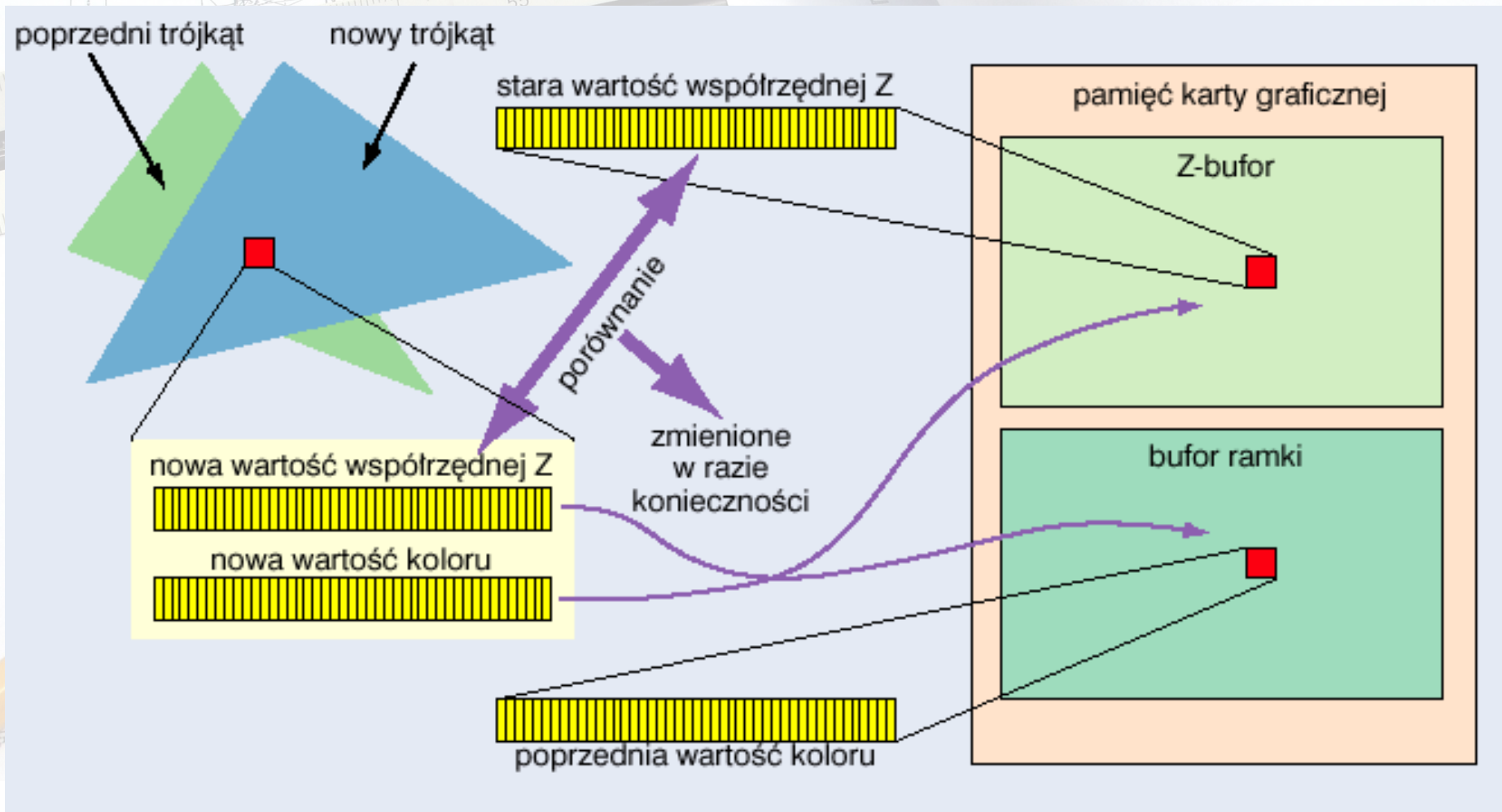
Algorytm z-bufora

- Ten duży objętościowo fragment pamięci lokalnej karty, mający za zadanie przechowywać dane o współrzędnej z nazywany jest z-buforem (ang. z-buffer).
- Zasada działania z-bufora z polega na tym, że np. dla dwóch trójkątów przed ich narysowaniem porównuje się ich współrzędne z z wartością zapamiętaną w z-buforze.
- Jeśli nowy rysowany punkt ma wartość niższą (to znaczy zasłania poprzedni obiekt), jest rysowany
- Cały proces powtarzany jest dla każdego obiektu generowanej sceny 3D.

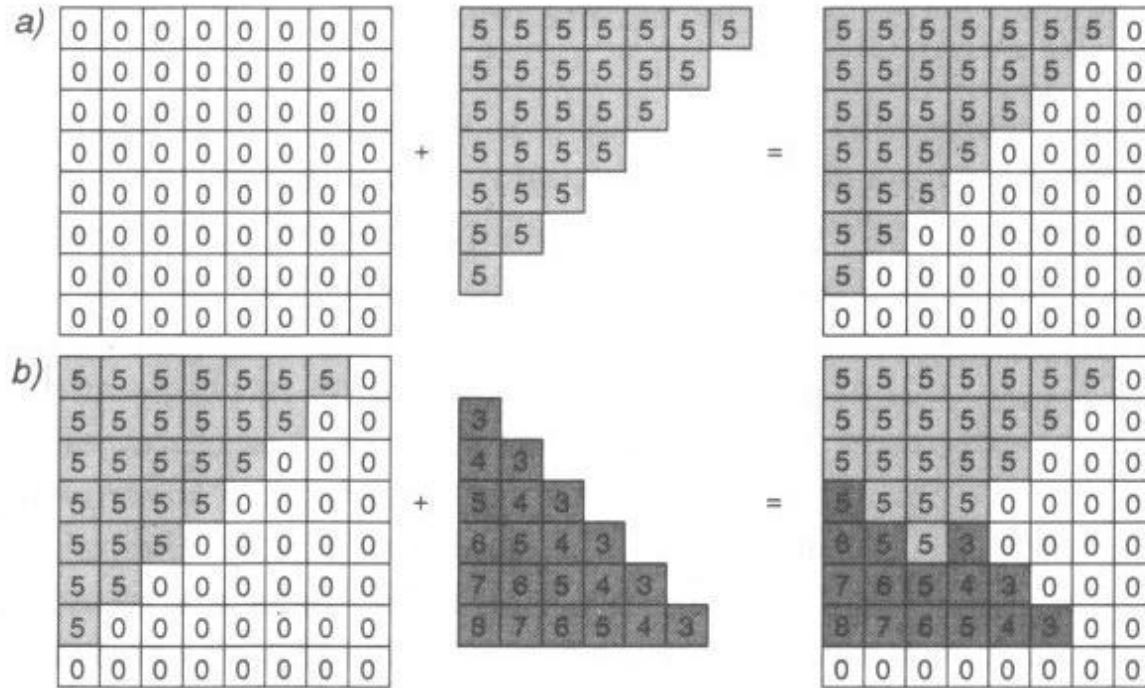
Algorytm z-bufora

- **Algorytm z-bufora**, albo *bufora głębokości*, z grupy algorytmów z precyzją obrazową, został opracowany przez Catmulla.
- Jest to jeden z **najprostszych** do **realizacji sprzętowej** albo programowej algorytmów znajdowania powierzchni widocznych.
- Wymaga on korzystania obok **pamięci obrazu F** , w której są pamiętane wartości barw, z **z-bufora Z** o takiej samej **liczbie** pozycji, w której jest pamiętana wartość z dla każdego **piksla**.
- Na początku **bufor jest zerowany**, co odpowiada zapamiętaniu **wartości z dla tylnej ściany** obcinającej, a do **bufora obrazu** jest wpisywana barwa **tła**.
- **Największa** wartość, jaka może być wpisana w z-buforze, reprezentuje z dla **przedniej ściany** obcinającej.
- Wielokąty są przeglądane wierszami – kolejność wielokątów jest dowolna.

Alorytm z-bufora



Algorytm z-bufora



- Na rysunku pokazano dodanie dwóch wielokątów do obrazu.
- **Barwa** każdego piksela jest reprezentowana przez **odcień szarości**, a **z** jest reprezentowane przez **liczbę**.
- Pamiętając naszą dyskusję o **spójności głębokości** możemy uprościć obliczanie **z** dla każdego punktu w przeglądany wierszu **korzystając** z faktu, że wielokąt jest **płaski**.

Algorytm z-bufora

- Zwykle w celu obliczenia z należy rozwiązać równanie płaszczyzny

$$Ax + By + Cz + D = 0$$

dla zmiennej

$$z = \frac{-D - Ax - By}{C}$$

- Teraz jeżeli w punkcie (x, y) z równania otrzymamy z , to w punkcie $(x+\Delta x, y)$ wartość wynosi

$$z_1 = \frac{A}{C} \Delta x$$

- Jeżeli $z(x, y)$ jest dane, to obliczenie $z(x+1, y)$ wymaga tylko jednego odejmowania bo A/C jest stałe i $\Delta x = 1$.

Algorytm z-bufora

- W czasie procesu konwersji, jeżeli rozpatrywany punkt nie jest dalej od obserwatora niż punkt, którego barwa i głębokość są zapisane w buforach, to nowa barwa i głębokość zastępują stare wartości.
- Nie jest potrzebne żadne wstępne sortowanie ani porównanie typu obiekt-obiekt.
- Cały proces to nic więcej jak szukanie największej wartości Z_i dla każdego zbioru par

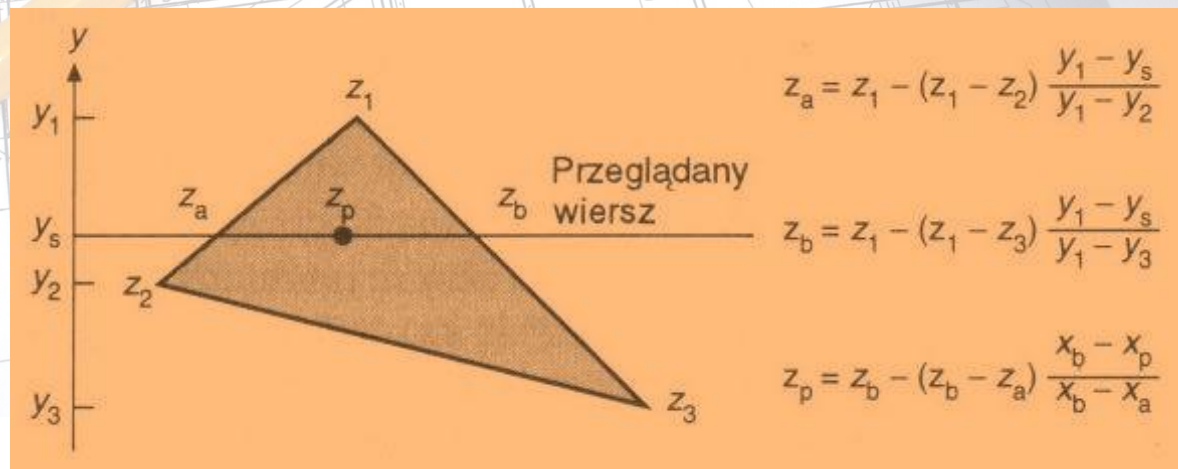
$$\{Z_i(x, y), F(x, y)\}$$

dla ustalonych x i y .

- W pamięci obrazu i w z-buforze są zapisywane informacje związane z największym z napotkanym dotychczas dla każdego (x, y) .

Algorytm z-bufora

- Podobne **obliczenie przyrostowe** można wykonać w celu obliczenia pierwszej wartości z w **następnym** przeglądany **wierszu**, zmniejszając z o B/C dla każdego Δy .
- W przypadku gdy **płaszczyzna nie została określona** albo gdy **wielokąt nie jest płaski**, to wówczas $z(x, y)$ można określić **interpolując** współrzędne wierzchołków wielokąta wzdłuż par **krawędzi**, a potem wzdłuż każdego przeglądane **wiersza**, jak na rysunku.



Algorytm z-bufora

- Algorytm z-bufora **nie wymaga**, żeby obiekty były **wielokątami**.
- Rzeczywiście jedną z **dominujących zalet** tej metody jest to, że może być używana do **renderingu dowolnego obiektu**, jeżeli dla każdego punktu rzutu można obliczyć **barwę i wartość z**.
- Nie trzeba pisać **żadnego** bezpośredniego algorytmu **przecinania**.
- Algorytm z-bufora wykonuje sortowanie wagowe względem **x i y** **bez żadnych porównań**, a przy sortowaniu względem **z** jest potrzebne tylko **jedno porównanie** na piksel dla **każdego wielokąta** zawierającego ten piksel.
- **Czas** zajmowany przez obliczenia związane z wyznaczaniem widocznych powierzchni jest w przybliżeniu **niezależny od liczby wielokątów w obiektach**, ponieważ średnio **liczba** pikseli **pokrytych** przez każdy **wielokąt** **zmniejsza** się wraz ze **wzrostem liczby wielokątów** w bryle widzenia.
- **Średnia** wielkość **zbioru** przeglądanych par zmierza do wartości stałej.

Algorytm z-bufora

- Chociaż algorytm z-bufora wymaga **dużej pamięci** dla z-bufora, jest łatwy do implementacji.
- Jeżeli jest problem z pamięcią, to obraz może być **przeglądany pasami**.
- Ze względu na **prostotę** z-bufora i **brak** dodatkowych **struktur danych**, zmniejszające się koszty pamięci zainspirowały wiele **sprzętowych implementacji** z-bufora.
- Ponieważ algorytm z-bufora działa z **precyzją obrazową**, mogą się pojawiać zakłócenia.
- Ten problem jest rozwiązywany za pomocą algorytmu z-bufora, gdzie wykorzystuje się dyskretną aproksymację do bezwagowego próbkowania powierzchni.
- Z-bufor jest często **implementowany sprzętowo** dla liczb całkowitych od **16-** do **32-bitowych**, realizacje **programowe** natomiast (i niektóre sprzętowe) mogą wykorzystywać wartości **zmiennopozycyjne**.

Algorytm z-bufora

- 16-bitowy z-bufor daje wystarczający zakres dla wielu zastosowań
- Dla **CAD/CAM**, 16 bitów zapewnia **zbyt małą precyzję** reprezentowania środowisk, w których:
 - obiekty zdefiniowane z **dokładnością milimetrową** są umieszczane w **odległościach** mierzonych w **kilometrach**.
- Sytuacja jest jeszcze gorsza, jeżeli jest wykorzystywane rzutowanie **perspektywiczne** – **kompresja odległych wartości** z wynikająca z dzielenia perspektywicznego ma istotny **wpływ** na **porządkowanie głębokości** i przecięcia odległych obiektów.
- Dwa punkty umieszczone **blisko rzutni** po przekształceniu mogą dać **dwie różne wartości** całkowite, natomiast gdy są **daleko od rzutni**, mogą dać **taką samą wartość**.

A technical drawing of a mechanical assembly, possibly a crane or conveyor system, is shown. The drawing includes various components, dimensions, and labels. A yellow ruler is placed horizontally across the middle of the drawing, and a yellow pencil is positioned diagonally across the lower left. The drawing features a complex network of lines and circles, with some areas shaded with diagonal hatching. Dimensions are given in millimeters and centimeters. Labels include 'BAY COAL TERMINAL', 'RECLAIMER - RL1', 'ACCESS TO CABIN', 'BUCKET WEAR BOOM', '50x50x5 EA', 'Break line', 'IN DOUBT - ASK', and 'sh.2'. A scale of 1:100 is indicated on the ruler.

Algorytm przeglądania

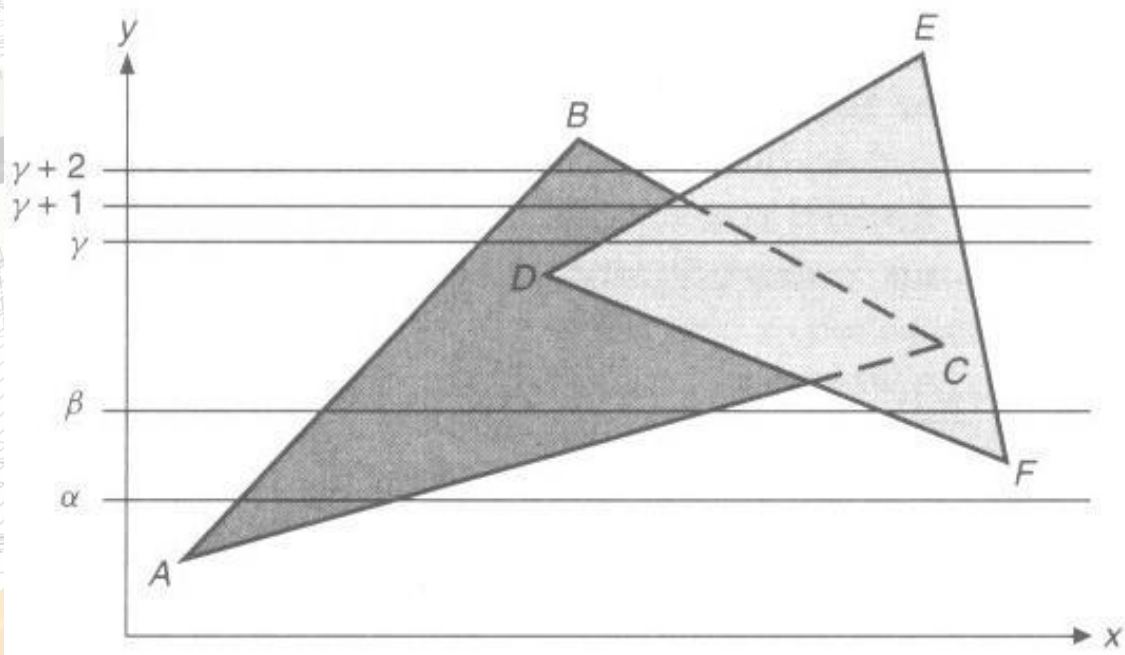
Algorytm przeglądania

- **Algorytmy przeglądania**, opracowane pierwotnie przez Wylie'a, Romneya, Evansa i Erdahla, Bouknighta i Watkinsa, działają z **precyzją obrazową** i tworzą obraz **jednego wiersza na raz**.
- Podstawowa koncepcja polega na **rozszerzeniu** algorytmu **konwersji** wierszowej oraz **wykorzystaniu** różnych form **spójności**, w tym spójności przeglądania wierszowego i spójności krawędziowej.
- Różnica polega na tym, że zajmujemy się nie jednym wielokątem, a **kilkoma**.
- W pierwszym kroku jest tworzona **tablica krawędzi** (ET) dla wszystkich nie-poziomych krawędzi wszystkich wielokątów rzutowanych na rzutnię.
- Tak jak poprzednio krawędzie poziome są pomijane.
- Pozycje w tablicy ET są podzielone **na grupy** ze względu na najmniejszą współrzędną y każdej krawędzi, a w **obrębie grupy** są porządkowane ze względu na rosnącą współrzędną x ich niższego punktu końcowego.

Algorytm przeglądania

- Każda grupa zawiera:
 - współrzędną x końca o mniejszej współrzędnej y
 - współrzędną y drugiego końca krawędzi
 - **przyrost x** , używany przy przejściu z jednego przeglądanego wiersza do następnego (jest odwrotnością nachylenia krawędzi)
 - numer identyfikacyjny wielokąta, wskazujący wielokąt, do którego należy krawędź
- Potrzebna jest również **tablica wielokątów** (PT), która - oprócz numeru identyfikacyjnego - zawiera przynajmniej następujące informacje o każdym wielokącie:
 - współczynniki równania płaszczyzny.
 - informację o cieniowaniu albo barwie wielokąta.
 - wskaźnik boolowski we-wy wykorzystywany w przeglądaniu wiersza ustawiany początkowo na wartość **false**.

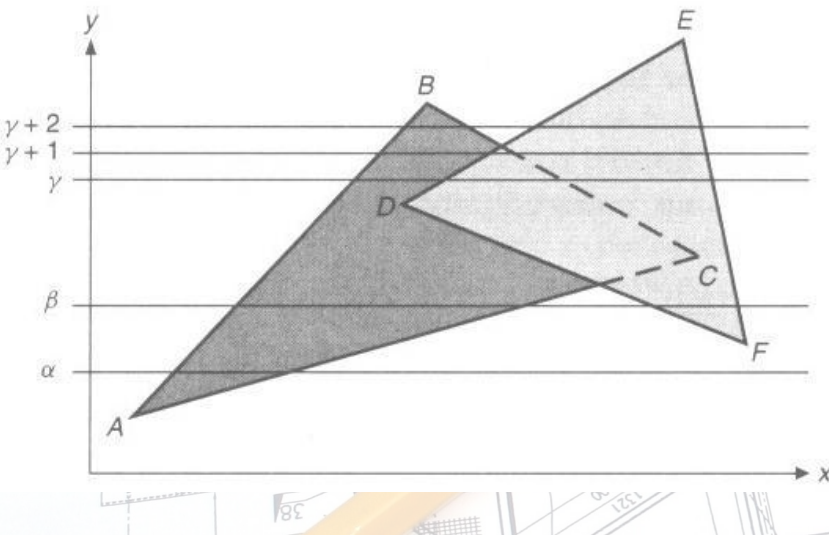
Algorytm przeglądania



- Na rysunku pokazano rzut dwóch trójkątów na płaszczyznę (x, y)
- **Ukryte** krawędzie są pokazane liniami **przerywanymi**.
- Uporządkowana tablica ET dla tej figury zawiera pozycje dla **AB, AC, FD, FE, CB i DE**.
- Tablica PT ma pozycje dla ABC i DEF .

Algorytm przeglądania

- Tablica krawędzi aktywnych (AET) jest również potrzebna.
- Jest ona zawsze utrzymywana w porządku wynikającym z **rosnących** wartości x .
- Na dolnym rysunku pokazano pozycje tablic **ET**, **PT** i **AET**.
- W chwili, gdy algorytm **dochodzi** do **przeglądania** wierszy, tablica AET zawiera AB i AC (w tej kolejności).



Pozycja ET

x	y_{\max}	Δx	ID	● →
-----	------------	------------	----	-----

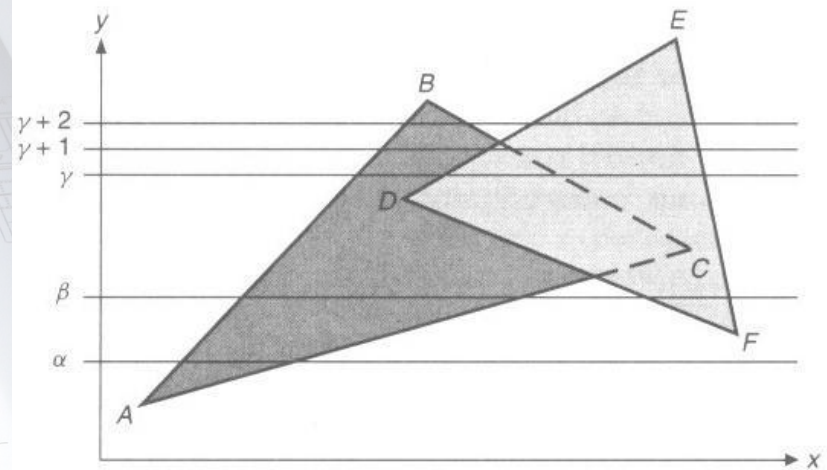
Pozycja PT

ID	Równanie płaszczyzny	Informacja o cieniowaniu	We-wy
----	----------------------	--------------------------	-------

Zawartość AET

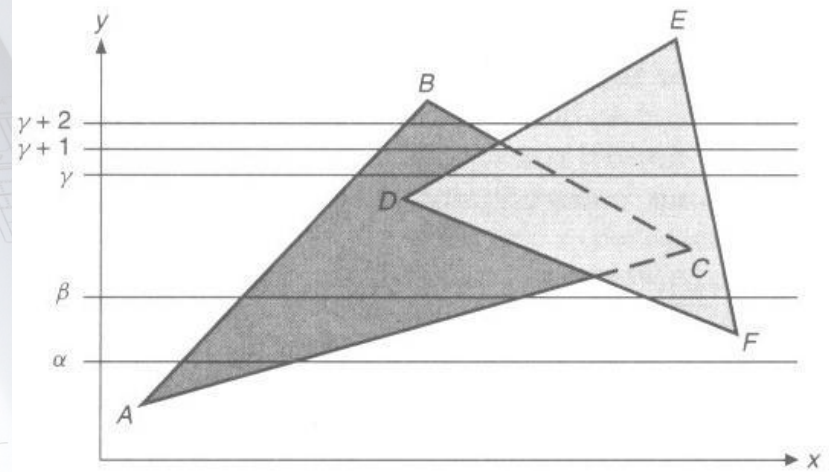
Przeglądany wiersz	Pozycje			
α	AB	AC		
β	AB	AC	FD	FE
$\gamma, \gamma+1$	AB	DE	CB	FE
$\gamma+2$	AB	CB	DE	FE

Algorytm przeglądania



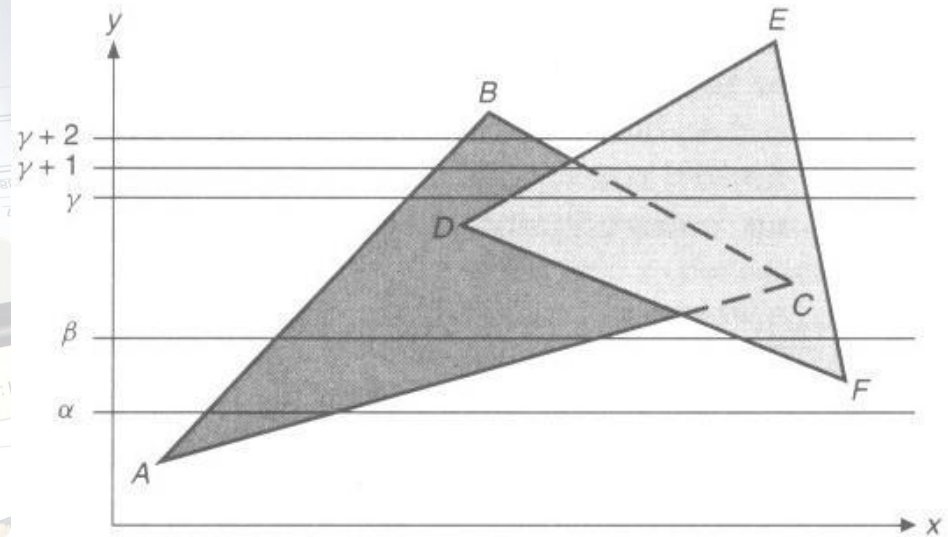
- Krawędzie są przetwarzane od lewa do prawa.
- W celu przetworzenia AB najpierw został zanegowany **wskaźnik we-wy** wielokąta ABC .
- W omawianym przypadku wskaźnik przyjmuje wartość **true** i wobec tego **segment** znajduje się **wewnątrz** wielokąta i **wielokąt** musi być **rozważany**.
- Ponieważ **segment** jest tylko w **jednym wielokącie** ABC , musi on być **widoczny** i trzeba go **pocieniować** od krawędzi AB do następnej krawędzi w tablicy AET, czyli krawędzi AC .
- Jest to przypadek **spójności segmentu**.
- Na krawędzi AC wskaźnik dla ABC jest zamieniany na **false** i segment już nie jest wewnątrz żadnego wielokąta.

Algorytm przeglądania



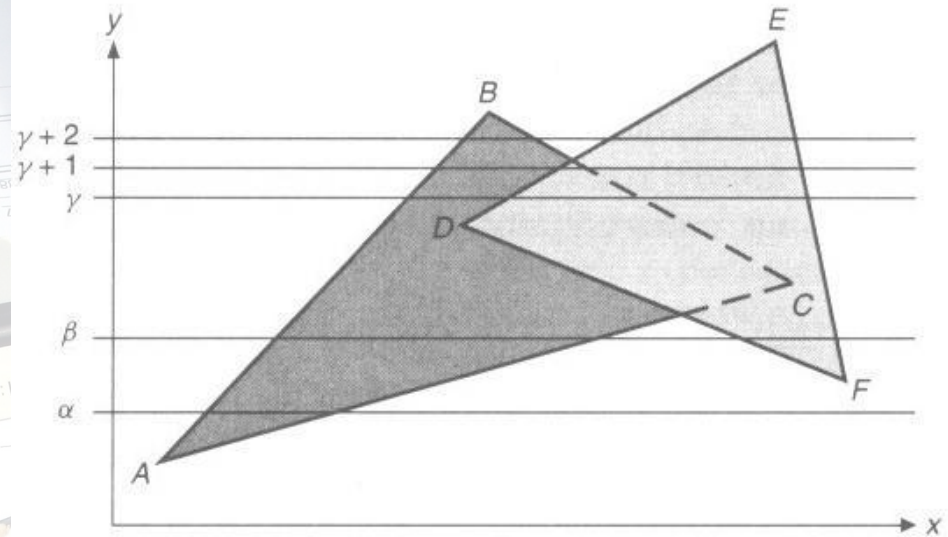
- Następnie, ponieważ AC jest **ostatnią** krawędzią w **AET**, proces **przeglądania** wiersza zostaje **zakończony**.
- Tablica **AET** jest **uaktualniana** na podstawie tablicy ET i ponownie **porządkowana** ze względu na **x**, ponieważ niektóre z jej krawędzi mogłyby się przeciąć
- Teraz jest przetwarzany **następny** wiersz.

Algorytm przeglądania



- Gdy dojdzie się do **przeglądania** wiersza β , w tablicy AET jest następująca kolejność: **AB, AC, FD, FE**.
- Przetwarzanie odbywa się mniej więcej tak samo jak poprzednio.
- W jednym wierszu są **dwa wielokąty**, ale każdy **segment** jest tylko w **jednym** wielokącie.

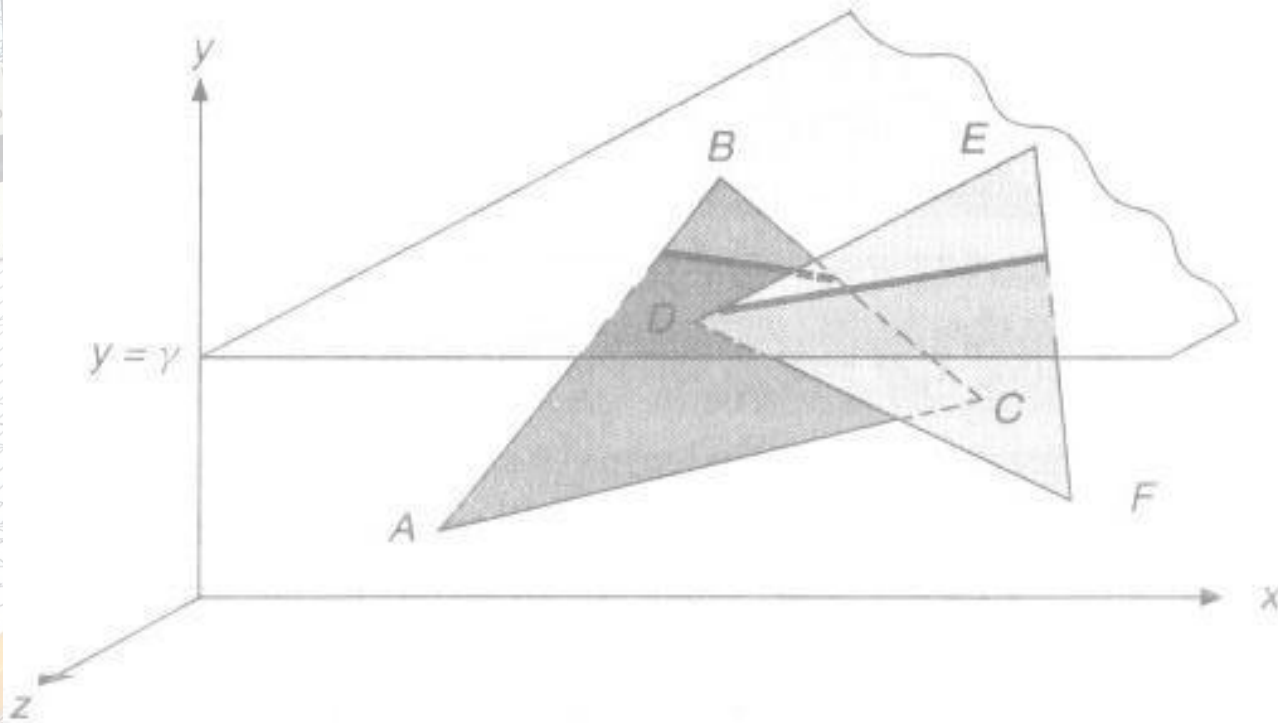
Algorytm przeglądania



- Znacznie ciekawsza sytuacja jest dla $y = \gamma$.
- Wejście do ABC powoduje, że **jego wskaźnik** przyjmuje wartość **true**.
- **Barwa ABC** jest **używana** dla segmentu aż do następnej krawędzi **DE** .
- W tym miejscu **wskaźnik** dla **DEF** również przyjmuje wartość **true** i segment jest w dwóch wielokątach.
- Musimy teraz **zdecydować**, czy ABC czy DEF jest **bliżej obserwatora**

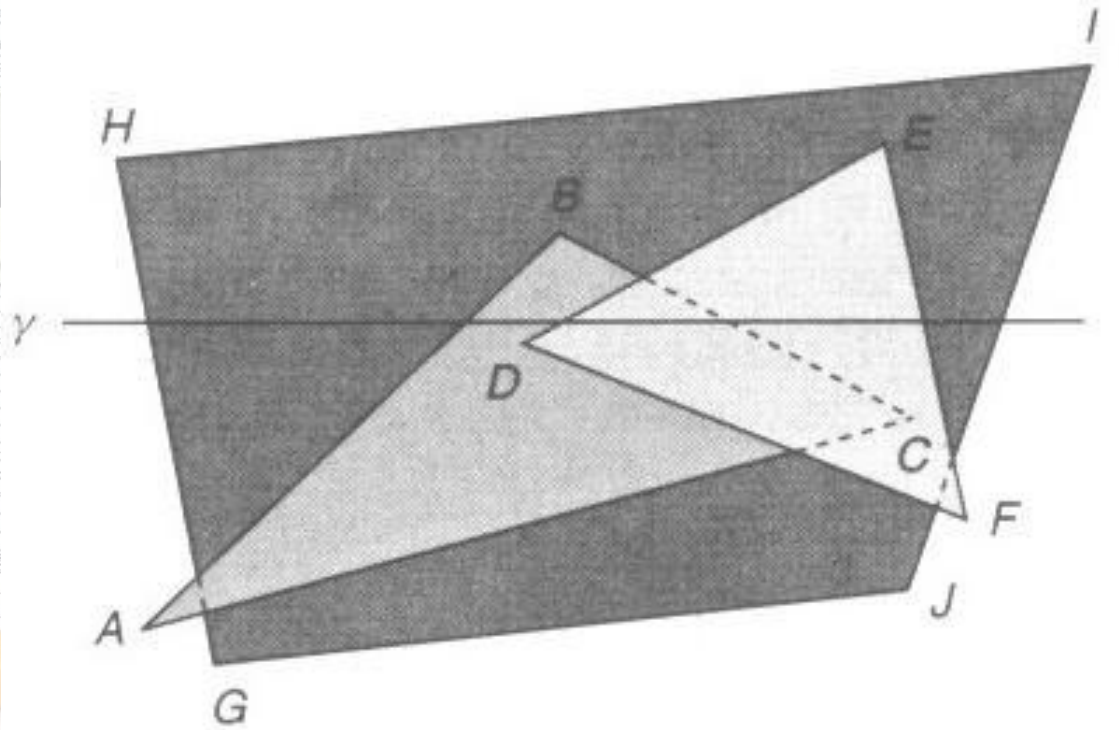
- W tym celu obliczamy **równania płaszczyzn** obu wielokątów dla z przy $y = \gamma$ dla x przecięcia wiersza z krawędzią **DE**.
- Ta wartość x znajduje się w **tablicy AET** w pozycji dla **DE**.
- W omawianym przykładzie z **jest większe dla DEF**, dlatego wielokąt ten jest widoczny.
- Zakładając, że wielokąty **nie przecinają się**, segmentowi przypisuje się **barwę** taką jak w trójkącie **DEF** aż **do** krawędzi **CB**, gdzie wskaźnik trójkąta **ABC** przyjmuje wartość **false**.
- Segment jest **znowu tylko** w **jednym wielokącie DEF**, którego barwa jest przypisana segmentowi aż **do** krawędzi **FE**.

Algorytm przeglądania



- Na rysunku pokazano **wzajemne położenie** dwóch wielokątów i płaszczyzny – dwie **grube** linie wskazują **przecięcia** wielokątów z płaszczyzną.

Algorytm przeglądania

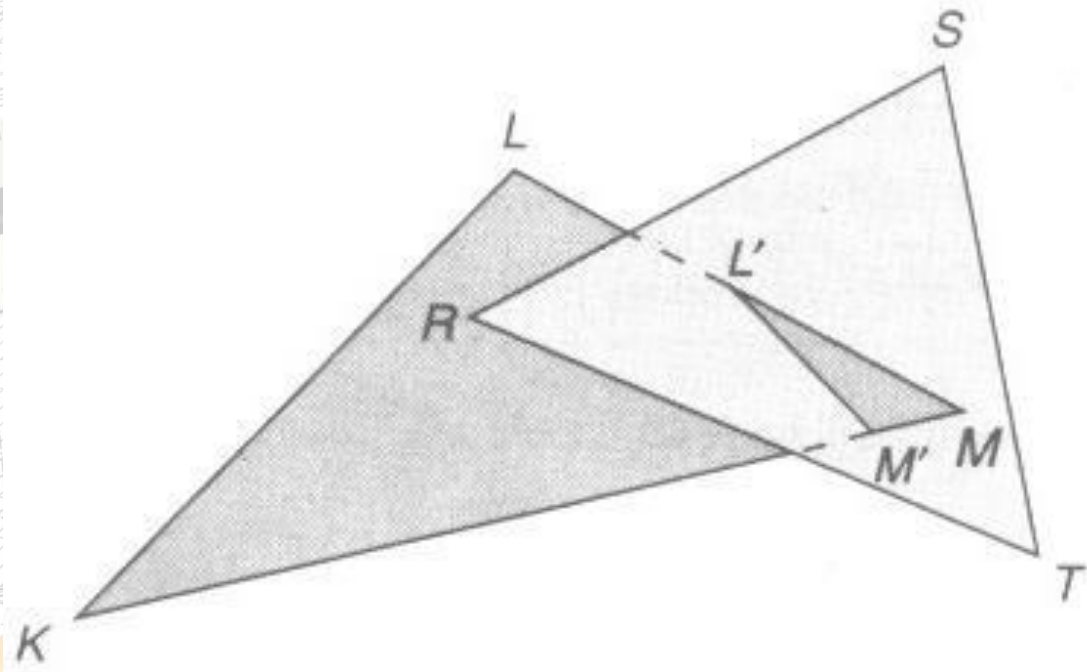


- Załóżmy, że zarówno za ABC , jak i za DEF jest duży wielokąt $GHIJ$.
- Jeżeli przeglądając wiersz **dojdziemy** do krawędzi CB , to segment będzie **wciąż** w wielokątach DEF i $GHIJ$ i **obliczenia głębokości** są wykonywane **ponownie**.

Algorytm przeglądania

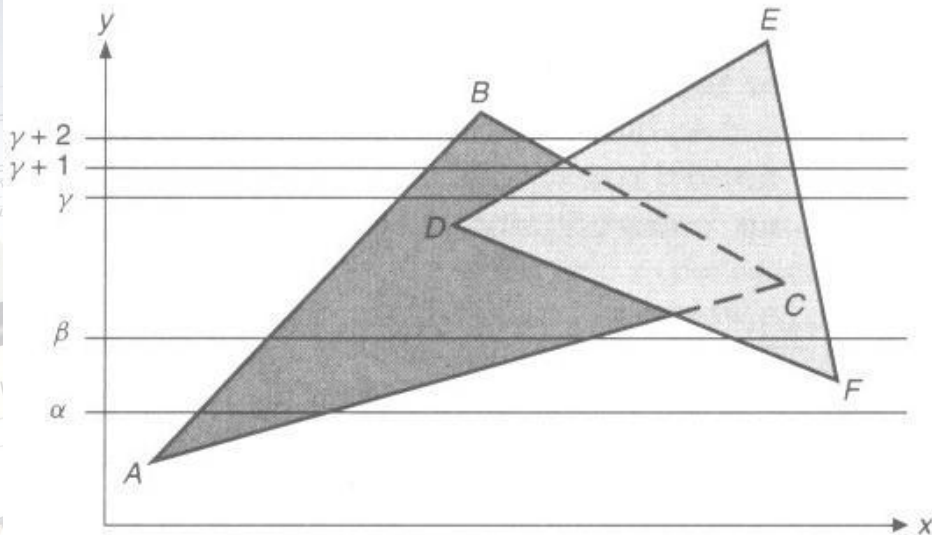
- Takich obliczeń można jednak **uniknąć**, jeżeli założymy, że żaden z wielokątów **nie przecina** drugiego.
- To założenie oznacza, że gdy segment **opuszcza** **ABC**, wówczas **relacja głębokości** między **DEF** i **GHIJ** **nie może się zmienić** i **DEF** jest w dalszym ciągu z przodu.
- Dlatego obliczanie głębokości **nie jest konieczne** wówczas, gdy przy przeglądaniu wychodzi się poza **zasłonięty** wielokąt, a jest potrzebne **tylko wówczas**, gdy wychodzi się poza **zasłaniający** wielokąt.

Algorytm przeglądania



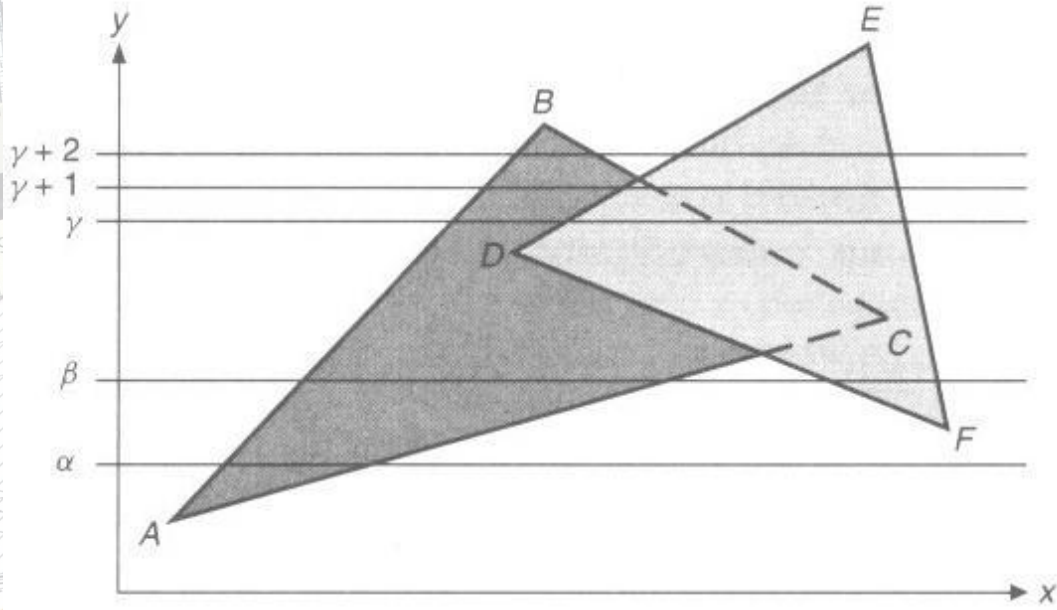
- W celu poprawnego wykorzystania algorytmu dla przecinających się wielokątów z rysunku **dzielimy KLM** na **KLL'M'** i **L'M'M**, wprowadzając **fałszywą krawędź M'L'**.
- Można też tak **zmodyfikować algorytm**, żeby znajdować punkt **przecięcia** w przeglądanym wierszu w **trakcie przetwarzania** przeglądanego **wiersza**.

Algorytm przeglądania



- W innej modyfikacji tego algorytmu wykorzystuje się **spójność głębokości**.
- Załóżmy, że wielokąty wzajemnie **nie przecinają się**.
- Jeżeli dla **przeglądanego** wiersza w AET są te same krawędzie co w **poprzednim** przeglądanym wierszu i na dodatek w **tej samej kolejności**, to nie pojawia się **żadna zmiana relacji** głębokości w żadnym segmencie przeglądanego wiersza
- **Nie** są wtedy **potrzebne** nowe obliczenia związane z głębokością
- Wobec tego **widoczny** segment w **poprzednio** przeglądanym wierszu określa **segment** w **bieżącym** wierszu.

Algorytm przeglądania



- Tak jest w przypadku wierszy $y = \gamma$ i $y = \gamma + 1$ na rysunku, dla których segmenty od AB do DE i od DE do FE są widoczne.
- **Spójność** głębokości jest jednak na tym rysunku **tracona**, gdy przejdziemy z wiersza $y = \gamma + 1$ do $y = \gamma + 2$, ponieważ krawędzie DE i CB zmieniają kolejność w AET (sytuacja, w której algorytm musi się przystosować).

Algorytm przeglądania

- Nie zastanawialiśmy się dotychczas, jak traktować **tło**.
 - Najprostszy sposób polega na tym, żeby na początku **wpisać do bufora** obrazu **barwę tła**, tak żeby algorytm musiał tylko przetwarzać wiersze, które przecinają krawędzie.
 - Inny sposób polega na **włączeniu** do definicji sceny dostatecznie **dużego wielokąta**, który jest **dalej** z tyłu **niż** wszystkie **inne**, jest **równoległy** do rzutni i jest **odpowiednio cieniowany**.
 - Wreszcie można tak zmodyfikować algorytm, żeby **barwa tła** była umieszczana **bezpośrednio w pamięci obrazu** zawsze wówczas, gdy **przeglądany punkt** nie jest w **żadnym wielokącie**.

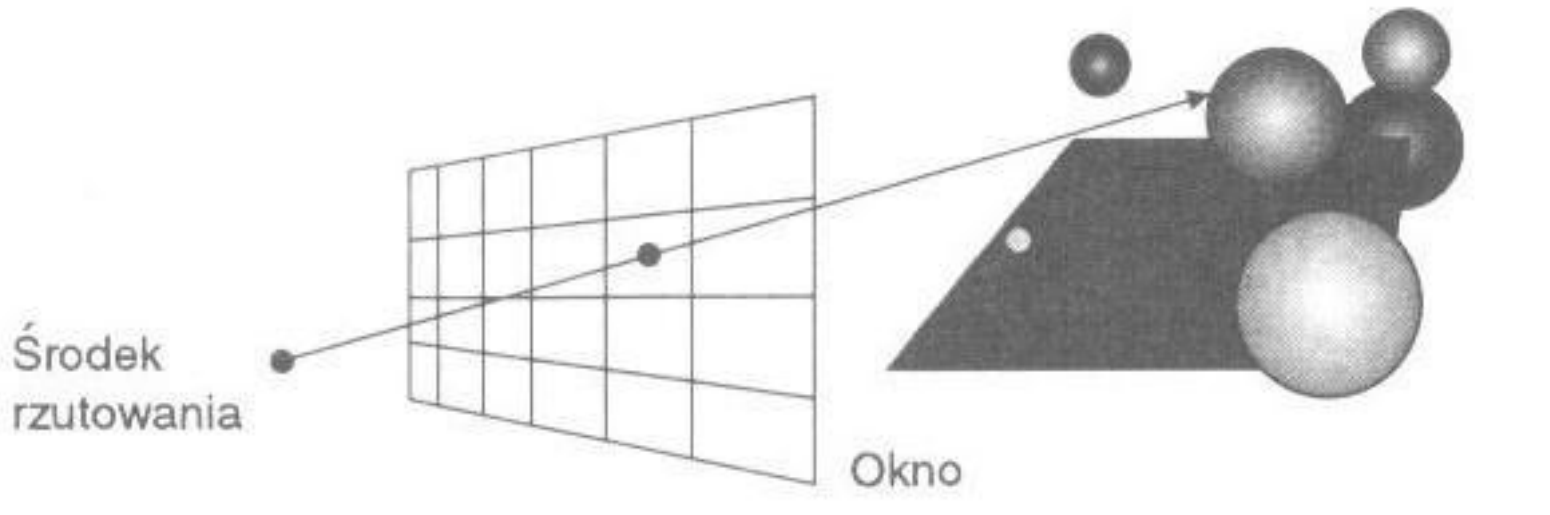
A technical drawing of a ship's hull section is shown, featuring various structural lines, dimensions, and labels. A yellow ruler is placed horizontally across the upper part of the drawing, and a yellow pencil lies diagonally across the lower part. The drawing includes labels such as 'BAY COAL TERMINAL', 'RECLAIMER - RL1', 'ACCESS TO CABIN', 'BUCKET WEHL BOOM', '50x50x5 EA', 'Break line', and 'IN DOUBT - ASK'. Dimensions like 1782, 306, 850, 1150, 1414, 2338, 1521, 12, 25, 27, 30, 35, 43, 50, 55, 60, 65, 70, 75, 80, 85, 90, 95, 100, 105, 110, 115, 120, 125, 130, 135, 140, 145, 150, 155, 160, 165, 170, 175, 180, 185, 190, 195, 200, 205, 210, 215, 220, 225, 230, 235, 240, 245, 250, 255, 260, 265, 270, 275, 280, 285, 290, 295, 300, 305, 310, 315, 320, 325, 330, 335, 340, 345, 350, 355, 360, 365, 370, 375, 380, 385, 390, 395, 400, 405, 410, 415, 420, 425, 430, 435, 440, 445, 450, 455, 460, 465, 470, 475, 480, 485, 490, 495, 500, 505, 510, 515, 520, 525, 530, 535, 540, 545, 550, 555, 560, 565, 570, 575, 580, 585, 590, 595, 600, 605, 610, 615, 620, 625, 630, 635, 640, 645, 650, 655, 660, 665, 670, 675, 680, 685, 690, 695, 700, 705, 710, 715, 720, 725, 730, 735, 740, 745, 750, 755, 760, 765, 770, 775, 780, 785, 790, 795, 800, 805, 810, 815, 820, 825, 830, 835, 840, 845, 850, 855, 860, 865, 870, 875, 880, 885, 890, 895, 900, 905, 910, 915, 920, 925, 930, 935, 940, 945, 950, 955, 960, 965, 970, 975, 980, 985, 990, 995, 1000 are visible. The text 'Metoda śledzenia promieni' is overlaid in red on a semi-transparent white background.

Metoda śledzenia promieni

Wyznaczanie powierzchni widocznych metodą śledzenia promieni

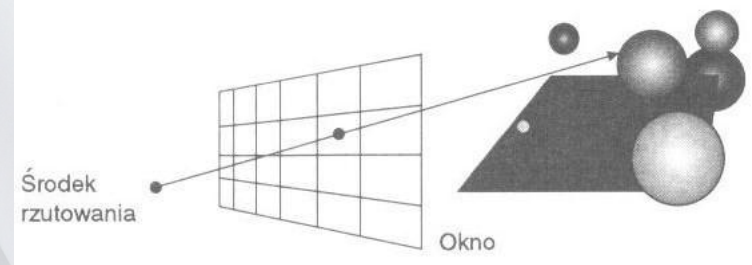
- **Metoda śledzenia promieni** określa widoczność powierzchni na zasadzie **śledzenia umownych promieni światła od oka obserwatora do obiektów sceny**.
- Jest to dokładnie **prototypowy algorytm z precyzją obrazu**.
- Jest wybierany:
 - **środek rzutowania** (oko obserwatora) oraz
 - **pole wizualizacji** na dowolnej rzutni.
- Można sobie wyobrazić, że pole wizualizacji jest **podzielone** regularną siatką o wymaganej rozdzielczości.
- **Elementy** siatki odpowiadają **pikselom**.

Wyznaczanie powierzchni widocznych metodą śledzenia promieni



- Dla **każdego piksela** w polu wizualizacji, ze **środką rzutowania** jest wyprowadzany **promień** przez **środek piksela** w **kierunku sceny**
- **Barwa piksela** jest ustawiana **zgodnie z barwą obiektu** dla **najbliższego punktu przecięcia**.

Metoda śledzenia promieni



- Metoda **śledzenia promieni** była pierwotnie opracowana przez Appela oraz Goldsteina i Nagela.
- Appel wykorzystywał **rzadką siatkę promieni** w celu wyznaczenia cieniowania, z uwzględnieniem **sprawdzania**, czy punkt znajduje się w **cieniu**.
- Goldstein i Nagel wykorzystywali swój algorytm do **symulowania trajektorii torów pocisków i cząstek nuklearnych** – dopiero później zastosowali go do grafiki.
- Whitted i Kay rozszerzyli metodę śledzenia promieni tak, żeby było możliwe uwzględnianie odbić **zwierciadlanych** i **załamania**.
- Omawiane zagadnienie łączy się z problemem **cieni, odbić i załamania**, a więc efektów, z rozwiązywania których **metoda śledzenia promieni** jest **najbardziej znana**.
- Tutaj zajmiemy się metodą śledzenia promieni tylko jako algorytmem **wyznaczania** powierzchni **widocznych**.

Obliczanie przecięć

- Elementem kluczowym każdego programu śledzenia promieni jest zadanie **wyznaczenia przecięcia** obiektu z promieniem.
- W celu wykonania tego zadania korzystamy z takiej samej **reprezentacji parametrycznej**.
- Każdy punkt (x, y, z) wzdłuż promienia od (x_0, y_0, z_0)
- do (x_1, y_1, z_1) jest określany wartością parametru t taką, że:

$$x = x_0 + t(x_1 - x_0)$$

$$y = y_0 + t(y_1 - y_0)$$

$$z = z_0 + t(z_1 - z_0)$$

Obliczanie przecięć

- Dla wygody określamy wartości $\Delta x, \Delta y, \Delta z$ tak, że:

$$\Delta x = x_1 - x_0$$

$$\Delta y = y_1 - y_0$$

$$\Delta z = z_1 - z_0$$

- Wobec tego

$$y = y_0 + t\Delta y$$

$$x = x_0 + t\Delta x$$

$$z = z_0 + t\Delta z$$

- Jeżeli **środek rzutowania** jest w (x_0, y_0, z_0) a **środek piksela** w oknie jest w (x_1, y_1, z_1) to t zmienia się od **0** do **1** między tymi punktami.

Obliczanie przecięć

- **Ujemne** wartości t reprezentują punkty **poza środkiem** rzutowania, a wartości t **większe** niż **1** odpowiadają **punktom** po stronie rzutni **dalszej od środka** rzutowania.
- Dla **każdego rodzaju obiektu** musimy **znaleźć reprezentację**, która umożliwi określenie t na przecięciu obiektu z promieniem.
- Jednym z obiektów, dla których **najłatwiej** jest to zrobić, jest **kula** i stąd **nadmiar kul** obserwowanych w typowych obrazach obliczanych metodą śledzenia promieni!
- Kula o środku w (a, b, c) i promieniu r może być reprezentowana za pomocą równania

$$(x - a)^2 + (y - b)^2 + (z - c)^2 = r^2$$

Obliczanie przecięć

- Rozpisując równanie, **podstawiając** za x , y i z wartości przyrostowe i **porządkując** równanie otrzymujemy **równanie kwadratowe** ze względu na t :

$$\begin{aligned} &(\Delta x^2 + \Delta y^2 + \Delta z^2)t^2 \\ &- 2t[\Delta x(x_0 - a) + \Delta y(y_0 - b) \\ &+ \Delta z(z_0 - c)] + (x_0 - a)^2 + (y_0 - b)^2 \\ &+ (z_0 - c)^2 - r^2 = 0 \end{aligned}$$

- Współczynniki** równania są wyrażone w **zależności** od **stałych** otrzymanych z równania **kuli** i równania **promienia**
- Jeżeli **nie ma pierwiastków** rzeczywistych, to kula i promień **nie przecinają** się
- Jeżeli jest tylko **jeden pierwiastek** rzeczywisty, to promień jest **styczny** do kuli.
- W przeciwnym przypadku **dwa pierwiastki** określają punkty przecięcia z kulą ten, dla którego **wartość t jest mniejsza**, jest bliższy.

Obliczanie przecięć

- Często musimy określić **normalną** do powierzchni w punkcie przecięcia po to, żeby **określić barwę** powierzchni.
- Jest to szczególnie **łatwe** w przypadku **kuli**, ponieważ (nieznormalizowana) normalna jest wektorem od **śroдка** do **punktu przecięcia**
- Kula o środku (a, b, c) ma normalną do powierzchni
$$((x - a)/r, (y - b)/r, (z - c)/r)$$
- w punkcie przecięcia (x, y, z) .

Obliczanie przecięć

- Znajdowanie przecięcia promienia z wielokątem jest nieco trudniejsze.
- W celu wyznaczenia punktu przecięcia promienia z wielokątem:
 - najpierw sprawdzamy, czy promień przecina płaszczyznę wielokąta
 - następnie czy punkt przecięcia leży w wielokącie.
- Ponieważ równanie płaszczyzny ma postać

$$Ax + By + Cz + D = 0$$

- po podstawieniu zależności przyrostowych otrzymujemy:

$$A(x_0 + t\Delta x) + B(y_0 + t\Delta y) + C(z_0 + t\Delta z) + D = 0$$

Obliczanie przecięć

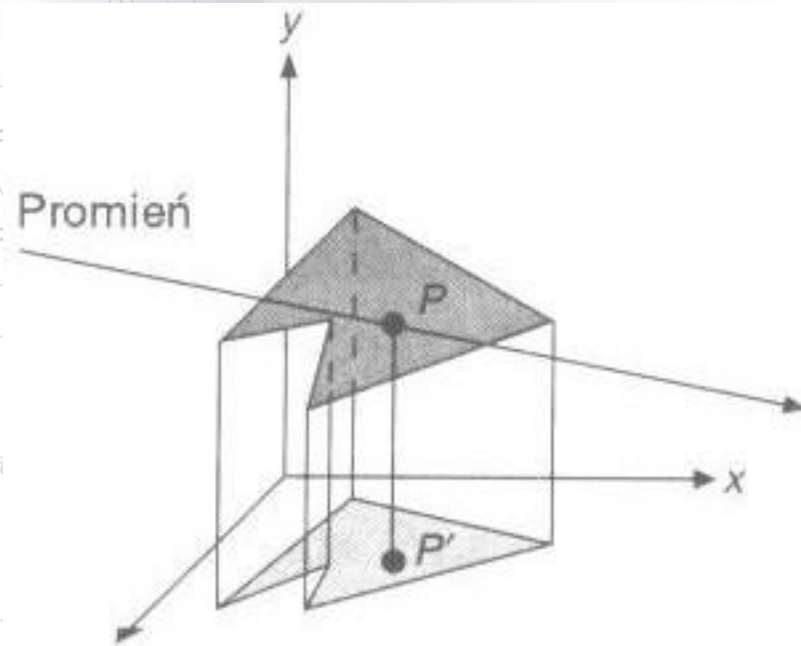
- Po uporządkowaniu ze względu na parametr

$$t(A\Delta x + B\Delta y + C\Delta z) + (Ax_0 + By_0 + Cz_0 + D) = 0$$

- Można policzyć jego wartość:

$$t = \frac{Ax_0 + By_0 + Cz_0 + D}{A\Delta x + B\Delta y + C\Delta z}$$

- Jeżeli **mianownik** równania jest równy **0**, to promień i płaszczyzna są równoległe i **nie przecinają** się.
- Łatwy sposób sprawdzenia, czy punkt przecięcia leży **wewnątrz wielokąta**, polega na rzutowaniu **wielokąta** i **punktu** prostopadle na **jedną z trzech płaszczyzn** układu współrzędnych jak na rysunku.



Efektywność metody śledzenia promieni dla powierzchni widocznych

- Algorytm z-bufora, **korzystając ze spójności**, przetwarza dla **każdego piksela** informację tylko o tych **obiektach**, których **rzut** znajduje się w danym **piksela**.
- W omówionej, prostej, ale **drogiej wersji** algorytmu wyznaczania powierzchni widocznych metodą śledzenia promieni **każdy promień** wychodzący z oka jest przecinany z **każdym obiektem** w scenie.
- Obraz o rozdzielczości **1024 x 1024** zawierający **100** obiektów wymagałby więc wykonania **100 mln.** przecięć.
- Nie jest zaskoczeniem, że dla typowych scen **75-95%** i więcej **czasu** systemu byłoby zużywane na **wyznaczanie przecięć**.
- Konsekwencją tego jest to, że omawiane dalej **podejścia** do **poprawy efektywności** metody śledzenia przy wyznaczaniu powierzchni widocznych dążą do **przyspieszenia obliczania** jednego **przecięcia** albo w ogóle do **unikania** takich obliczeń.

Optymalizacja obliczeń związanych z wyznaczaniem przecięć

- **Wiele** z elementów w równaniach do wyznaczania przecięć zawiera wyrażenia, które są **stałe** albo w **całym obrazie**, albo dla określonego **promienia**.
- Elementy te mogą być **obliczone wcześniej**, tak jak na przykład **rzut** prostokątny wielokąta na płaszczyznę.
- Przy **odpowiedniej analizie** można opracować szybkie metody znajdowania przecięć – nawet prosta zależność **przecięcia z kulą** może być ulepszona.
- Jeżeli dokona się takiego **przekształcenia promieni**, żeby biegły **wzdłuż osi z**, to **to samo przekształcenie** może być użyte do **każdego obiektu** i **każde przecięcie** występuje dla $x = y = 0$.

Optymalizacja obliczeń związanych z wyznaczaniem przecięć

- Krok ten **upraszcza obliczanie przecięć** i umożliwia określanie **najbliższego** obiektu w wyniku **sortowania** względem z.
- Następnie za pomocą **odwrotnego przekształcenia** można punkt przecięcia przekształcić z **powrotem** i dalej wykonywać **obliczenia** związane z wyznaczaniem **barwy**.
- **Bryły ograniczające** umożliwiają w sposób szczególnie atrakcyjny **zmniejszanie ilości czasu** potrzebnego do wyznaczania przecięć.
- Obiekt, który jest **względnie drogi**, jeśli chodzi o wyznaczanie przecięć, może zostać **otoczony** przez **bryłę** ograniczającą, dla której taki **test** jest znacznie **prostszy**, na przykład przez:
 - kulę,
 - elipsoidę albo
 - prostopadłościan
- Jeżeli promień **nie przecina bryły** ograniczającej, to **nie trzeba** wykonywać testu **dla obiektu**.

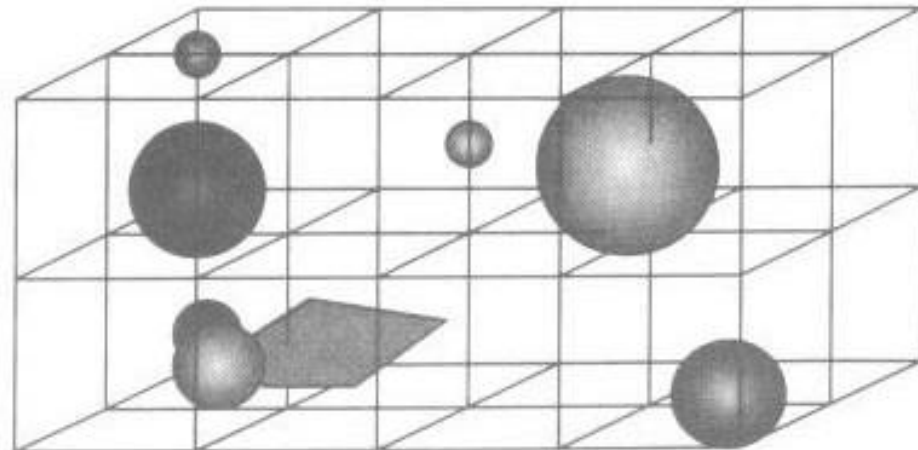
Hierarchie

- Choć **bryły** ograniczające same nie określają kolejności albo częstotliwości testów przecięć, mogą być zorganizowane **w struktury hierarchiczne z obiektami w liściach i wewnętrznymi węzłami**, które **otaczają** swoich potomków.
- Mamy pewność, że bryła **potomka nie jest przecinana** przez promień, jeżeli **nie jest przecinana** bryła **przodka**.
- Dlatego jeżeli **zaczniemy testy** przecinania od **korzenia**, to możemy w trywialny sposób **odrzuć wiele gałęzi** tej hierarchii (a co za tym idzie wiele obiektów).

The background of the image is a detailed architectural drawing, likely a site plan or a technical drawing of a building complex. It features various lines, dimensions, and labels. A yellow ruler is placed horizontally across the middle of the drawing, and a yellow pencil lies diagonally across it. The text "Algorytmy z podziałem przestrzennym" is overlaid in a red, bold font on a semi-transparent white rectangular background.

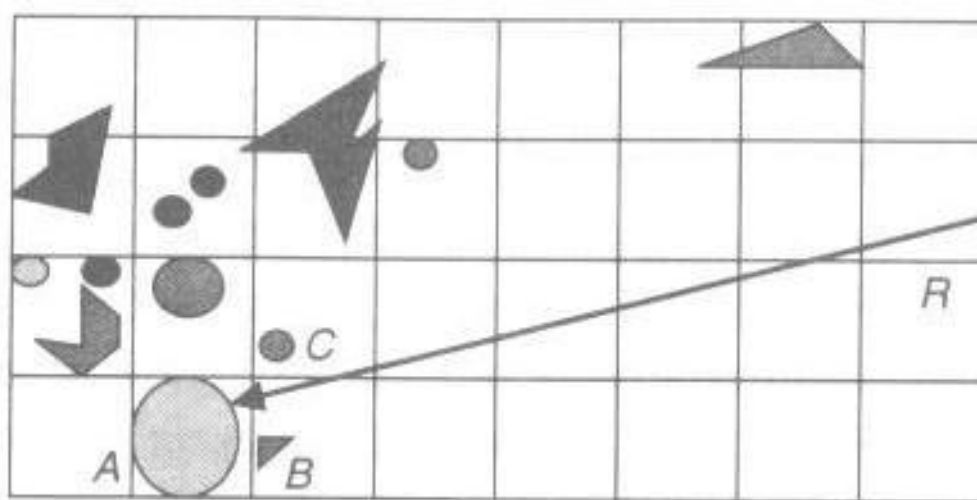
Algorytmy z podziałem przestrzennym

Podział przestrzenny



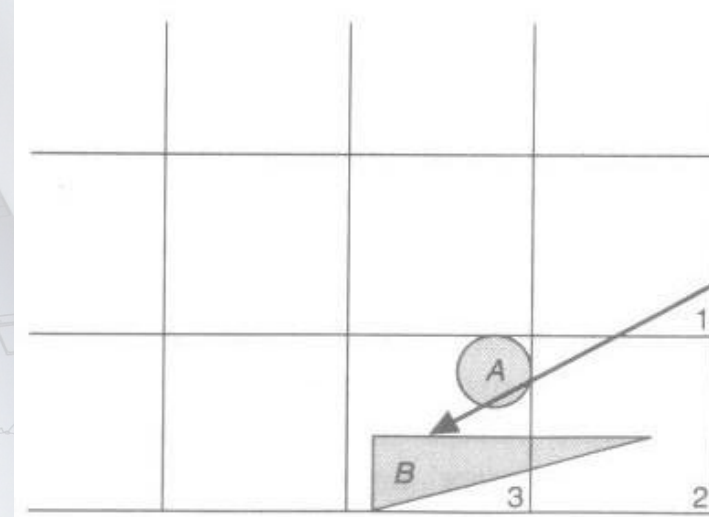
- **Hierarchia** brył otaczających organizuje obiekty w porządku **wstępującym** – **podział przestrzenny** natomiast dzieli przestrzeń w porządku **zstępującym**.
- Najpierw oblicza się **prostopadłościan** otaczający **scenę**.
- W jednym z podejść ten otaczający prostopadłościan jest **dzielony** na regularną **siatkę** jak na rysunku.
- Z **każdym elementem** podziału jest związana **lista obiektów**, które się w nim **zawierają**, całkowicie albo częściowo.
- Listy są wypełniane na zasadzie **przypisania każdego** obiektu do **jednego** lub **więcej elementów** podziału, do których ten obiekt należy.

Podział przestrzenny



- Teraz, jak pokazano na rysunku dla 2D, promień musi być przecięty tylko z tymi obiektami, które są zawarte w elementach podziału, przez które ten promień przechodzi.
- Ponadto elementy podziału trzeba sprawdzać w kolejności przechodzenia promienia
- Gdy tylko zostanie znaleziony element podziału, w którym jest przecięcie, nie trzeba sprawdzać dalszych elementów podziału.
- Zauważmy, że musimy uwzględnić wszystkie pozostałe obiekty w elemencie podziału po to, żeby sprawdzić, które przecięcie jest najbliższe.
- Ponieważ elementy podziału są utworzone przez regularną siatkę, każdy kolejny element podziału leżący wzdłuż promienia można obliczyć korzystając z wersji 3D algorytmu rysowania odcinka z punktem środkowym, zmodyfikowanego w taki sposób, żeby określać listę wszystkich elementów podziału, przez które promień przechodzi

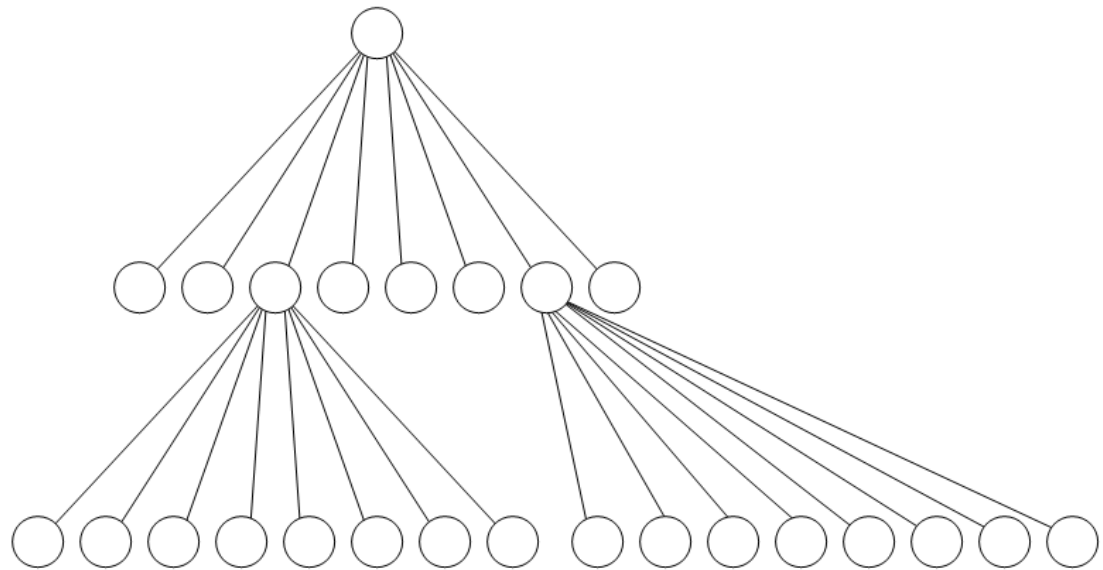
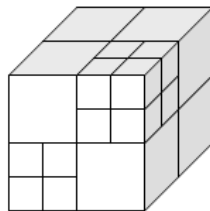
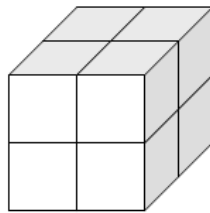
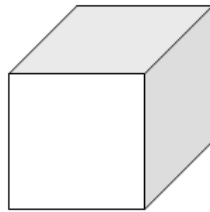
Podział przestrzenny



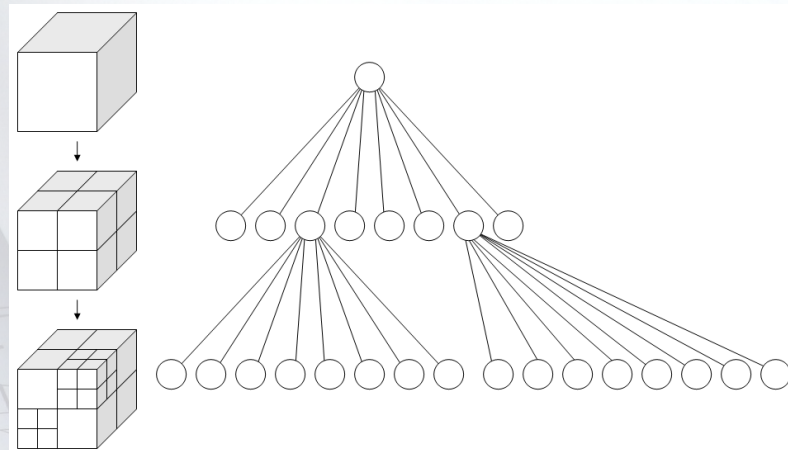
- Jeżeli **promień przecina obiekt** w danym **elemencie** podziału, to trzeba **sprawdzić**, czy samo **przecięcie należy** do elementu podziału
- Może się zdarzyć, że znalezione **przecięcie** jest już w **innym elemencie** podziału i że może istnieć **blizsze przecięcie** dla innego obiektu.
- Na przykład na rysunku **obiekt B** jest przecinany w **elemencie** podziału **3**, chociaż został **napotkany** w elemencie podziału **2**.
- Musimy **kontynuować przeglądanie** elementów podziału dopóty, dopóki nie znajdziemy **przecięcia** w **bieżąco przeglądany** elemencie podziału, w tym przypadku **A** w **elemencie** podziału **3**.
- W celu **uniknięcia ponownego przeliczania** przecięć promienia z obiektem, **który jest w kilku elementach podziału**, po pierwszym napotkaniu **punkt** przecięcia i **numer identyfikacyjny** mogą być wraz z obiektem **zapamiętane** w pomocniczej pamięci.

Podział przestrzenny

- Dippe i Swenson przedstawili **adaptacyjny algorytm** podziału, który tworzy elementy podziału o **nierównych** wielkościach.
- W innym adaptacyjnym podziale przestrzennym dokonuje się podziału sceny **według** metody **drzewa ósemkowego**.

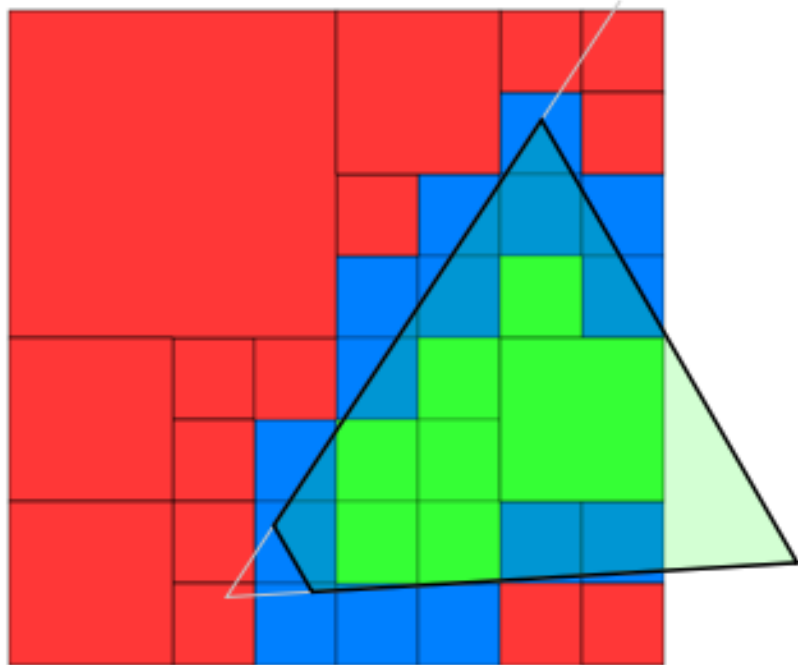


Podział przestrzenny



- W tym przypadku w celu **określenia kolejnych** elementów podziału leżących **wzdłuż promienia** można zastosować algorytm wyszukiwania **sąsiadów** w **drzewie** ósemkowym.
- Drzewa** ósemkowe i **inne hierarchiczne** podziały przestrzenne mogą być traktowane jako **specjalny przypadek** hierarchii, w którym mamy **pewność**, że **potomkowie** węzła wzajemnie **nie przecinają** się.
- Ponieważ takie podejście dopuszcza **podział adaptacyjny**, decyzja o dalszym podziale elementu podziału może zależeć **od liczby obiektów** w podpodziale albo od **kosztu** przecinania obiektów.

Drzewa ósemkowe



Na zielono zaznaczono sześciany w całości znajdujące się wewnątrz bryły widzenia, na czerwono znajdujące się poza nią, na niebiesko zawarte częściowo w bryle widzenia.

- Usprawniają **odrzućcie** niewidocznych obiektów, znajdujących się **poza bryłą** widzenia (view frustum culling) - można bardzo szybko odrzucać (lub akceptować) **całe gałęzie** drzewa bez zagłębianie się w nie, tj. bez dodatkowych, czasochłonnych testów.
- **Testowanie** widoczności ma charakter **rekurencyjny** i zaczyna się od korzenia drzewa ósemkowego.
- Sprawdzana jest **widoczność sześcianu** zapisanego w węźle:
 - Jeśli jest on **niewidoczny**, wiadome jest, że nie są widoczne także **wszystkie obiekty**, które się w nim znajdują
 - podobnie jeśli jest w **całości widoczny** - widoczne są także **wszystkie obiekty** w nim zawarte.
 - Jeśli natomiast widoczność sześcianu jest **częściowa**, przechodzi się **w głąb drzewa** i testuje widoczność jego ośmiu dzieci - mniejszych sześcianów.

Inne rozwiązania

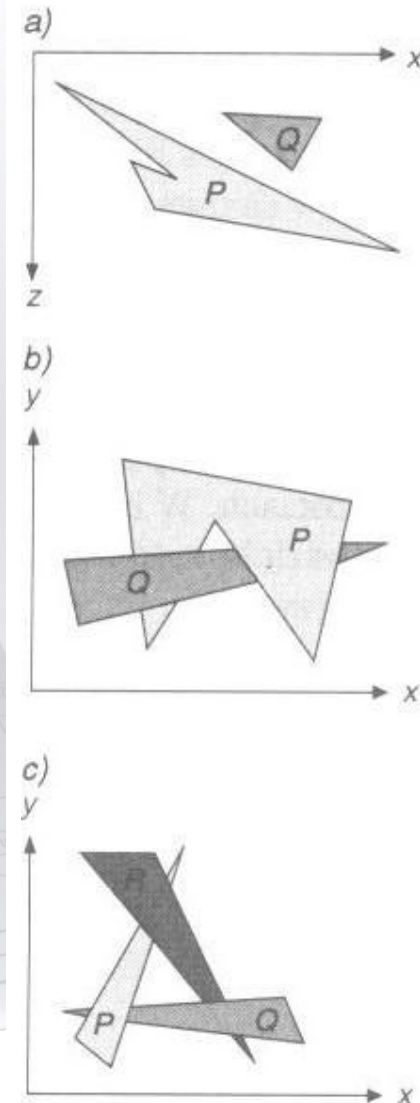
- Algorytmy z **listą priorytetów**
 - Algorytm sortowania ze względu na głębokość
 - Algorytm drzewa binarnego podziału przestrzeni
- Algorytmy **podziału powierzchni**
 - Algorytm Warnocka
- Algorytmy wyznaczania powierzchni **krzywoliniowych**

The background of the image is a technical drawing, likely a mechanical or structural blueprint. It features various lines, dimensions, and annotations. A yellow ruler is placed horizontally across the upper middle section of the drawing. A yellow pencil lies diagonally across the lower left portion. The drawing includes labels such as 'BAY COAL TERMINAL', 'RECLAIMER - RL1', 'ACCESS TO CABIN', 'BUCKET WEHL BOOM', '50x50x5 EA', 'Break line', and 'IN DOUBT - ASK'. There are also circular symbols with 'sh.2' and numbers like 15, 16, 17, 18, 19, 20, 21, 22, 23, 24, 25, 26, 27, 28, 29, 30, 31, 32, 33, 34, 35, 36, 37, 38, 39, 40, 41, 42, 43, 44, 45, 46, 47, 48, 49, 50, 51, 52, 53, 54, 55, 56, 57, 58, 59, 60, 61, 62, 63, 64, 65, 66, 67, 68, 69, 70, 71, 72, 73, 74, 75, 76, 77, 78, 79, 80, 81, 82, 83, 84, 85, 86, 87, 88, 89, 90, 91, 92, 93, 94, 95, 96, 97, 98, 99, 100. The text 'Algorytm z listą priorytetów' is overlaid in a large, bold, red font, centered horizontally and slightly below the middle vertically.

Algorytm z listą priorytetów

Algorytmy z listą priorytetów

- W *algorytmach z listą priorytetów* określa się **kolejność wyświetlania** obiektów, przy czym zapewnić należy, że jeżeli rendering obiektów będzie następował w **tej kolejności**, to uzyska się poprawne obrazy.
 - Na przykład, jeżeli żaden obiekt nie **nakłada się** na inny **wzdłuż** współrzędnej z , to musimy jedynie wykonać **segregowanie** obiektów ze względu na **rosnące** wartości z i wykonywać rendering w **tej kolejności**.
 - Dalsze obiekty są **przesłaniane** przez **bliższe** obiekty, ponieważ piksele z bliższych wielokątów **przykrywają** te pochodzące z **dalszych** wielokątów.
- Jeżeli wystąpi **nakładanie** się obiektów względem współrzędnej z , to nadal możemy określić poprawny porządek, tak jak na rysunku a.
- Jeżeli obiekty cyklicznie nakładają się tak jak na rysunku b i c albo przecinają się, to **nie istnieje poprawna kolejność**.
 - W takich przypadkach będzie konieczne **podzielenie** jednego lub więcej **obiektów** po to, żeby umożliwić **uzyskanie porządku** liniowego.



Algorytmy z listą priorytetów

- Algorytmy z listą priorytetów są **hybrydami**, które **łączą** operacje z precyzją **obiekową** i operacje z precyzją **obrazową**.
- **Porównywanie głębokości** i **podział** obiektów są wykonywane z precyzją **obiekową**.
- Jedynie **konwersja wierszowa** przy przeglądaniu, która zależy od zdolności urządzenia graficznego do zapisywania pikseli na miejscu pikseli należących do poprzednio narysowanych obiektów, jest wykonywana z **precyzją obrazową**.
- Ponieważ jednak **lista posortowanych obiektów** jest tworzona z precyzją **obiekową**, może być ponownie wyświetlona poprawnie z **dowolną rozdzielczością**.
- Algorytmy z **listą priorytetową** różnią się:
 - sposobem określania kolejności w wyniku sortowania,
 - sposobem wyboru obiektu do podziału
 - czasem dokonywania podziału

A technical drawing of a mechanical assembly, possibly a crane or conveyor system, is shown. It includes various dimensions, lines, and labels. A yellow ruler is placed horizontally across the top left, and a yellow pencil lies diagonally across the center. The drawing features a hatched rectangular area and several circular callouts with letters and numbers. Text at the top left includes 'BAY COAL TERMINAL', 'RECLAIMER RLT', 'ACCESS TO CABIN', and 'BUCKET WEAR BOOM'. Other text includes '50x50x5 EA', 'Break line', and 'IN DOUBT - ASK'.

Algorytm sortowania ze względu na głębokość

Algorytm sortowania ze względu na głębokość

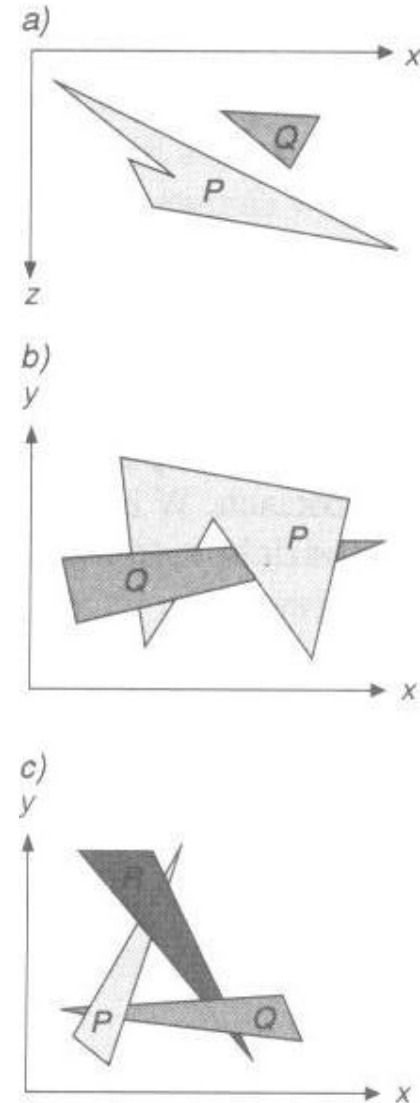
- Podstawowa **idea** algorytmu sortowania ze względu na głębokość, opracowanego przez Newella i Sancha, polega na **rysowaniu** wielokątów w **pamięci obrazu** w kolejności **malejącej odległości** od punktu obserwacji.
- Są wykonywane trzy koncepcyjne kroki:
 1. **sortowanie** wielokątów ze względu na najmniejszą (największą) współrzędną **z** każdego wielokąta
 2. **rozstrzygnięcie** wszystkich **niejednoznaczności**, które mogą powstawać w wyniku sortowania ze względu na **nakładanie** się przedziałów wartości **z** w wielokątach - w razie potrzeby wykonuje się **podział** wielokątów
 3. **przeglądanie wierszami** każdego wielokąta według **rosnącej** kolejności **najmniejszej współrzędnej z** (to znaczy od tyłu do przodu).

Algorytm sortowania ze względu na głębokość

- Rozważmy wykorzystanie **bezpośredniego priorytetu**.
- Bezpośredni priorytet zajmuje miejsce **minimalnej** wartości z i nie może być żadnych **niejednoznaczności** ze względu na **głębokość**
- O każdym priorytecie zakłada się, że może odpowiadać **różnym** płaszczyznom **stałego z** .
- **Uproszczona** wersja algorytmu sortowania ze względu na głębokość jest często określana jako **algorytm malarski**, z uwagi na podobieństwo do tego, jak **malarz** może **malować bliższe** obiekty na wcześniej **namalowanych** bardziej **odległych** obiektach.
- Algorytm malarski może być wykorzystywany do sceny, w której wielokąty znajdują się na płaszczyznach o **różnych z** , jeżeli **posortuje** się wielokąty ze względu na **minimalną współrzędną z** albo ze względu na współrzędną z ich **śroдка ciężkości**, z **pominięciem** kroku 2.
- Chociaż taki sposób **umożliwia** konstruowanie scen, w ogólnym przypadku **nie ma gwarancji**, że uzyska się **poprawne** uporządkowanie.

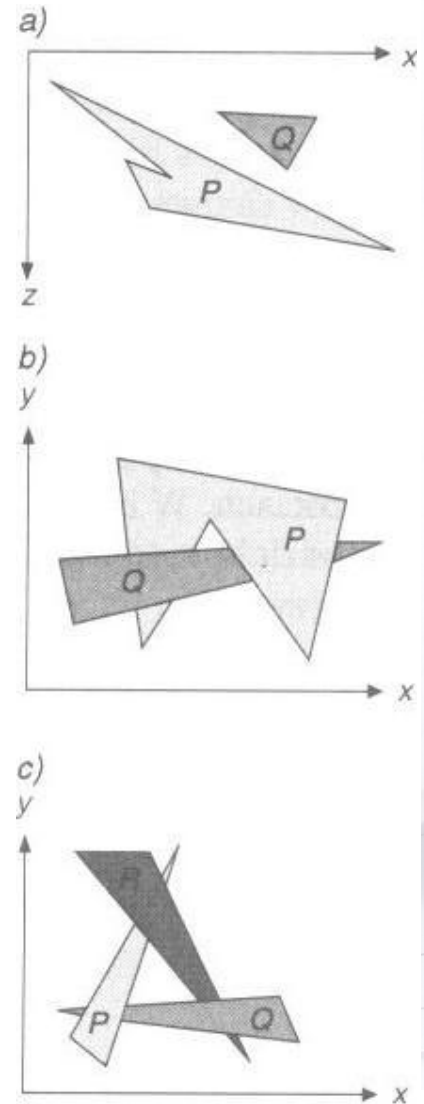
Algorytm sortowania ze względu na głębokość

- Na rysunku pokazano kilka rodzajów niejednoznaczności, które trzeba rozwiązywać w ramach kroku 2.
- Jak się to robi? Oznaczmy przez ***P*** wielokąt będący w danym momencie na **końcu** posortowanej **listy**.
- **Zanim** dokonamy **rasteryzacji** tego **wielokąta** do pamięci obrazu, trzeba go sprawdzić z **każdym** wielokątem ***Q***, którego **zakres** wartości ***z*** przecina się z **zakresem** wartości ***z*** w wielokącie ***P***
- Następuje sprawdzenie, że ***P*** **nie zasłania** ***Q*** i że ***P*** może wobec tego być zapisane **przed** ***Q***.



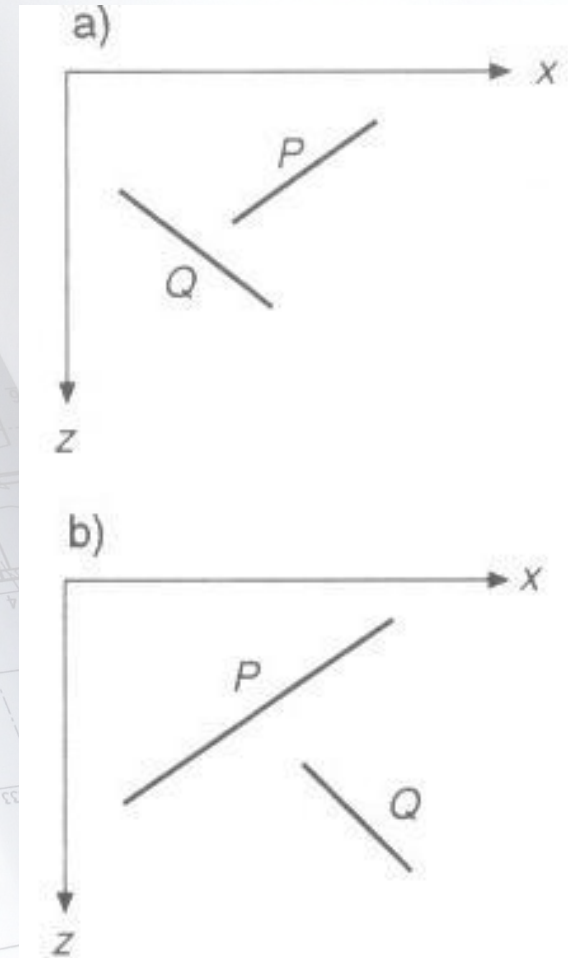
Algorytm sortowania ze względu na głębokość

- Wykonuje się **do pięciu testów** o rosnącej złożoności.
- Jeżeli **jeden** z tych testów **uda się**, to **P nie zasłania Q** i testuje się **następny** wielokąt **Q** , nakładający się z **P** względem współrzędnej **z** .
- Jeżeli **wszystkie** takie **wielokąty** przejdą przez testy, to wykonuje się **rasteryzację** wielokąta **P** i **kolejny** wielokąt **na liście staje się** nowym wielokątem **P** .



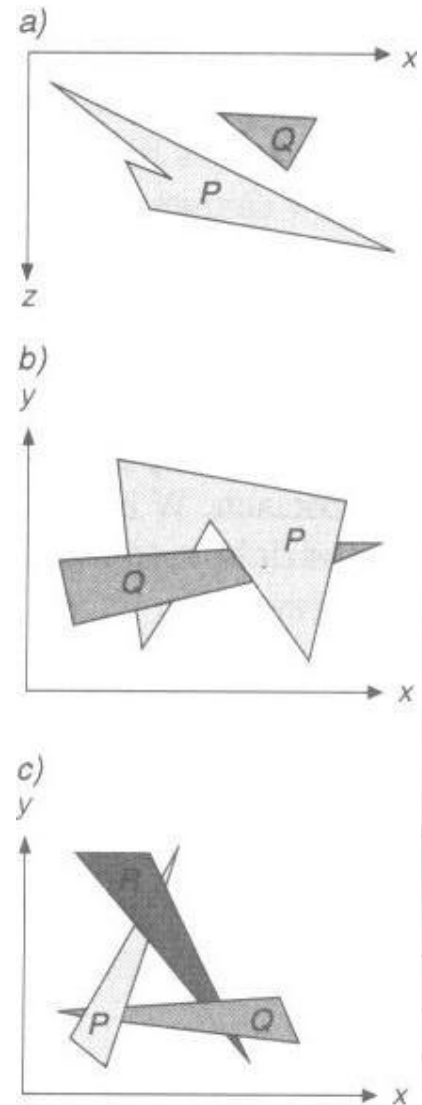
Algorytm sortowania ze względu na głębokość

- Pięć testów, o których była mowa, wygląda następująco:
 1. Czy **zakresy** współrzędnych x wielokątów nie przecinają się?
 2. Czy **zakresy** współrzędnych y wielokątów nie przecinają się?
 3. Czy P jest **całkowicie** po **stronie** płaszczyzny Q **niewidocznej** dla obserwatora, co jest prawdą dla rysunku a) z prawej strony
 4. Czy Q jest **całkowicie** po tej samej **stronie** płaszczyzny P co **obserwator**? (tak jak dla rysunku b)
 5. Czy **rzuty** wielokątów na płaszczyznę **nakładają się**? Można to określić **porównując krawędzie** jednego wielokąta z krawędziami drugiego.



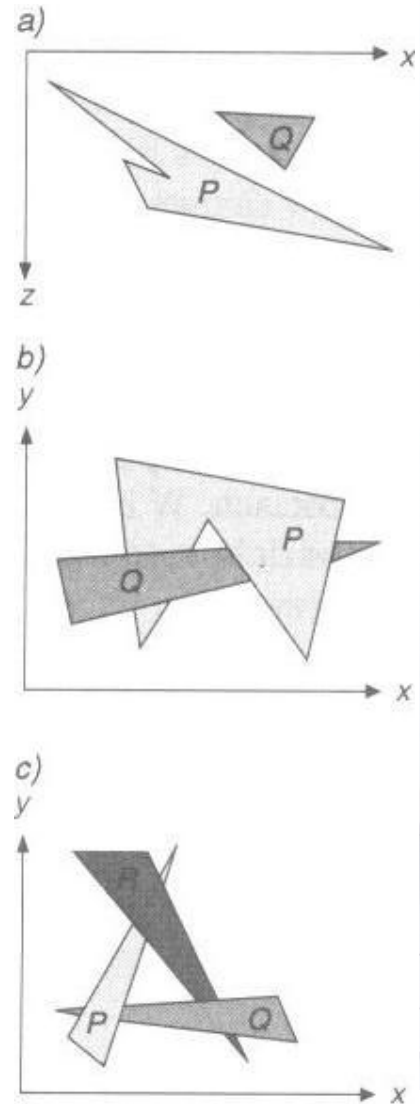
Algorytm sortowania ze względu na głębokość

- Jeżeli **żaden** z pięciu testów **nie** będzie **spełniony**, to zakładamy na moment, że ***P*** **rzeczywiście zasłania *Q***, i sprawdzamy, czy można dokonać rasteryzacji ***Q* przed *P***.
- Testów 1, 2 i 5 **nie trzeba powtarzać**, korzysta się natomiast z **nowych** wersji **testów 3 i 4** z zamienionymi wielokątami:
 - 3'. Czy ***Q*** jest **całkowicie** po **stronie** płaszczyzny ***P*** **niewidocznej** dla obserwatora?
 - 4'. Czy ***P*** jest **całkowicie** po **tej samej stronie** płaszczyzny ***Q*** co obserwator?
- W przypadku z rysunku a) test 3' udaje się.
- Dlatego przesuwamy ***Q* na koniec** listy i staje się on nowym ***P***.



Algorytm sortowania ze względu na głębokość

- W przypadku z rysunku b) testy w **dalszym ciągu nie są rozstrzygające** – nie istnieje kolejność, w jakiej można by dokonać poprawnej rasteryzacji.
- Dlatego trzeba **dokonać podziału** P albo Q płaszczyzną drugiego.
- **Oryginalny** wielokąt jest **odrzucający**, a jego części są **umieszczane na liście** we **właściwej kolejności** ze względu na z i algorytm jest wykonywany jak poprzednio.



A technical drawing of a mechanical part, possibly a bracket or a support structure, is shown. The drawing includes various dimensions, lines, and a hatched area. A yellow ruler is placed horizontally across the top of the drawing, and a yellow pencil is positioned diagonally across the middle. The text "Algorytm drzewa BSP" is overlaid in red on a semi-transparent white background.

Algorytm drzewa BSP

Algorytm drzewa binarnego podziału przestrzeni

- Algorytm **drzewa binarnego podziału przestrzeni** (BSP) był opracowany przez Fuchsa, Kedema i Naylor, którzy korzystali z prac Schumackera.
- Algorytm drzewa BSP jest **bardzo wydajną metodą** obliczania zależności widoczności wśród **statycznej grupy** wielokątów 3D oglądanych z **dowolnego punktu** obserwacji.
- Zapewnia on **kompromis** między:
 - początkowym czasochłonnym i pamięciochłonnym **przetwarzaniem wstępnym**
 - **liniowym algorytmem wyświetlania**, który jest wykonywany za każdym razem, gdy jest potrzebna nowa specyfikacja rzutowania.
- Dlatego algorytm dobrze się nadaje do zastosowań, w których **zmienia się punkt obserwacji**, natomiast same **obiekty nie zmieniają się**.

Algorytm drzewa binarnego podziału przestrzeni

- W algorytmie drzewa BSP skorzystano ze **spostrzeżenia**, że **rasteryzacja** wielokąta zostanie wykonana **poprawnie** (nie będzie zasłaniał niepoprawnie ani nie będzie zasłaniany niepoprawnie), jeżeli:
 - wszystkie wielokąty znajdujące się po stronie niewidocznej dla obserwatora zostaną poddane konwersji wcześniej,
 - potem zostanie wykonana konwersja tego wielokąta,
 - na końcu wszystkich wielokątów znajdujących się po tej samej stronie co obserwator.
- Musimy zapewnić to dla każdego wielokąta.
- Algorytm zapewnia **łatwe określenie** poprawnej **kolejności** rasteryzacji dzięki **tworzeniu drzewa** binarnego wielokątów (**drzewo BSP**).

Algorytm drzewa binarnego podziału przestrzeni

- W **korzeniu** drzewa BSP jest wielokąt **wybrany** spośród wielokątów, które mają być wyświetlone
- Algorytm działa poprawnie **niezależnie** od **pierwotnego wyboru** wielokąta.
- **Wielokąt** znajdujący się w **korzeniu** jest wykorzystywany do podziału środowiska na **dwie półprzestrzenie**.
- **Jedna** półprzestrzeń zawiera **wszystkie** pozostałe **wielokąty** znajdujące się **przed wielokątem korzenia** (zależy to od zwrotu normalnej wielokąta korzenia)
- W **drugiej** półprzestrzeni są umieszczane wszystkie wielokąty znajdujące się **za wielokątem korzenia**.
- Każdy **wielokąt**, który leży **po obu stronach** płaszczyzny wielokąta będącego w **korzeniu**, jest **dzielony przez tę płaszczyznę**, a jego przednie i tylne **części** są przypisane do odpowiednich półprzestrzeni.

Algorytm drzewa binarnego podziału przestrzeni

- Jeden wielokąt w **każdej półprzestrzeni**, przedniej i tylnej względem wielokąta będącego w korzeniu, staje się jego **przednim** albo **tylnym potomkiem**
- Każdy **potomek** jest **rekursywnie** wykorzystywany do **przydzielenia pozostałych** wielokątów do **jego półprzestrzeni** w podobny sposób.
- Algorytm **kończy się**, gdy **każdy węzeł** zawiera **tylko jeden wielokąt**.

Algorytm drzewa binarnego podziału przestrzeni

- Drzewo BSP może być **przeglądane** w zmodyfikowany sposób tak, żeby uzyskać **poprawnie uporządkowaną** według priorytetów listę dla **dowolnego punktu obserwacji**.
- Weźmy pod uwagę wielokąt będący w **korzeniu**.
- Dzieli on pozostałe wielokąty na **dwa zbiory**, z których każdy leży całkowicie po jednej stronie płaszczyzny wielokąta znajdującego się w korzeniu.
- Algorytm musi **gwarantować** wyświetlanie zbiorów w poprawnym, względnym **porządku** po to, żeby zapewnić:
 - brak możliwości mieszania się wielokątów z jednego zbioru z innymi,
 - wielokąt będący korzeniem był wyświetlany poprawnie i we właściwej kolejności względem innych.

Algorytm drzewa binarnego podziału przestrzeni

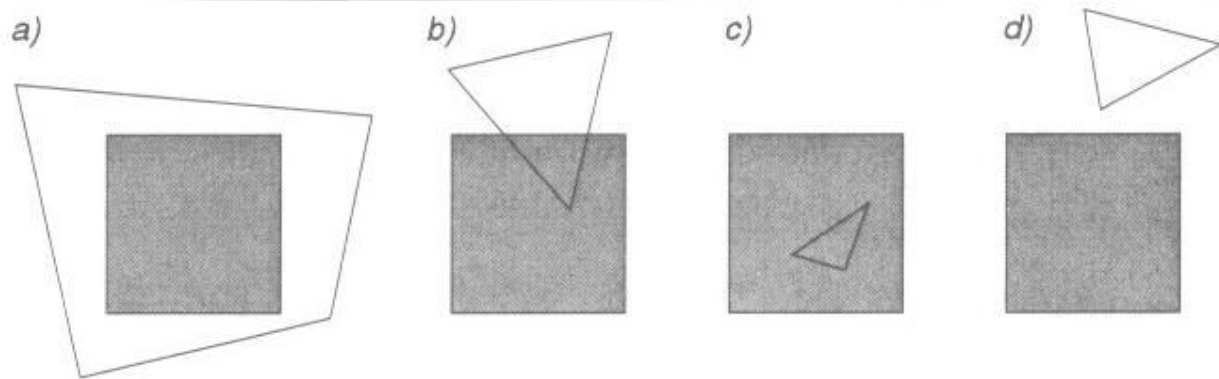
- Jeżeli **obserwator** jest w **przedniej półprzestrzeni** względem wielokąta znajdującego się w korzeniu, to **algorytm** musi
 - **najpierw** wyświetlić wszystkie wielokąty **tylnej półprzestrzeni** względem korzenia (te, które mogłyby zostać zasłonięte przez wielokąt znajdujący się w korzeniu),
 - potem wielokąt znajdujący się w korzeniu
 - i wreszcie wszystkie wielokąty z przedniej półprzestrzeni (te, które mogłyby zasłonić wielokąt znajdujący się w korzeniu)
- W przypadku gdy obserwator jest w **tylnej półprzestrzeni**, algorytm musi **odwrócić kolejność** wyświetlania
- Każdy z **potomków** korzenia jest **przetwarzany rekursywnie** za pomocą tego algorytmu.
- Podobnie jak w algorytmie sortowania ze względu na głębokość, algorytm z drzewem BSP:
 - wykonuje przecinanie i sortowanie z **precyzją obiektową**
 - wykorzystuje **możliwości** urządzenia rastrowego do **zapisywania** na poprzedniej zawartości z **precyzją obrazową**.

Algorytm Warnocka podziału powierzchni

Algorytmy podziału powierzchni

- Wszystkie *algorytmy podziału powierzchni* wykorzystują *strategię dziel i zwyciężaj* podziału przestrzennego na rzutni.
- Sprawdza się *powierzchnię* zrzutowanego obrazu.
- Jeżeli można *łatwo* zdecydować, które wielokąty w tym obszarze są *widoczne*, to *są* one *wyświetlane*.
- W *przeciwnym* przypadku powierzchnia jest *dzielona* na *mnijšie* powierzchnie, do których *rekursywnie* stosuje się proces *decyzji* logicznych.
- Gdy powierzchnia *maleje*, wówczas *mniej wielokątów* pokrywa każdą powierzchnię i *w końcu* staje się *możliwe* podjęcie decyzji.
- W tym podejściu wykorzystuje się *spójność powierzchniową*, ponieważ odpowiednio *małe obszary obrazu* będą zawarte w *najwyżej jednym* widocznym wielokącie.

Algorytm Warnocka



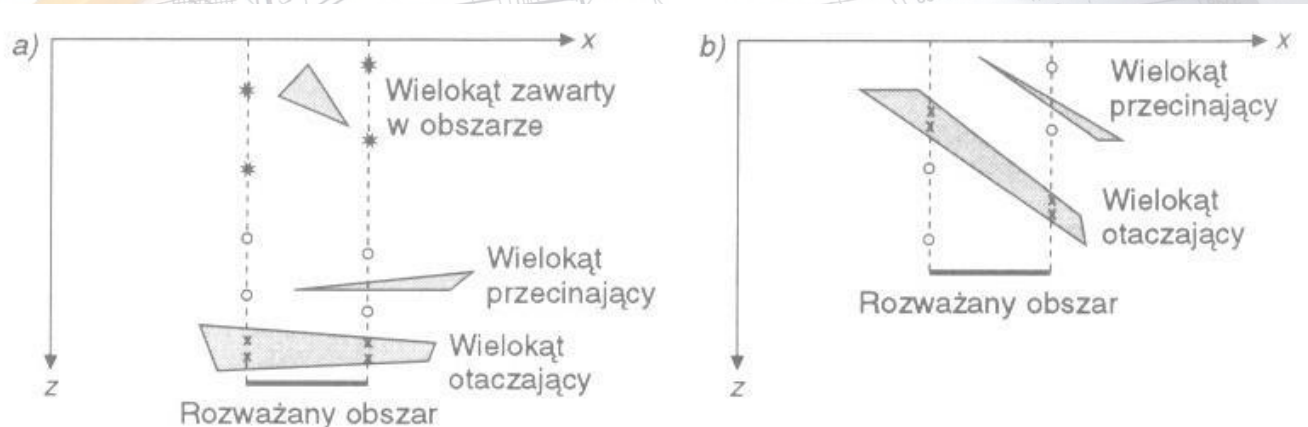
- Algorytm dzieli każdy obszar **na cztery** jednakowe **kwadraty**.
- W każdym **kroku** rekursywnego procesu **podziału rzut** każdego **wielokąta** może się znaleźć w **jednej z czterech** relacji względem odpowiedniego obszaru:
 - wielokąt **otaczające** całkowicie zawierają rozpatrywany obszar (rys. a)
 - wielokąt **przecinające** przecinają obszar (rys. b).
 - wielokąt **zawarte** są całkowicie **wewnątrz** obszaru (rys. c)
 - wielokąt **rozłączne** są całkowicie **na zewnątrz** obszaru (rys. d).
- Wielokąty **rozłączne** oczywiście nie mają **żadnego wpływu** na rozważany obszar.
- Część wielokąta **przecinającego**, która jest **na zewnątrz** obszaru, również **nie jest istotna**
- Część wielokąta **przecinającego**, która jest **wewnątrz** obszaru, powinna być **traktowana** tak samo jak wielokąt **zawarty** w obszarze.

Algorytm Warnocka

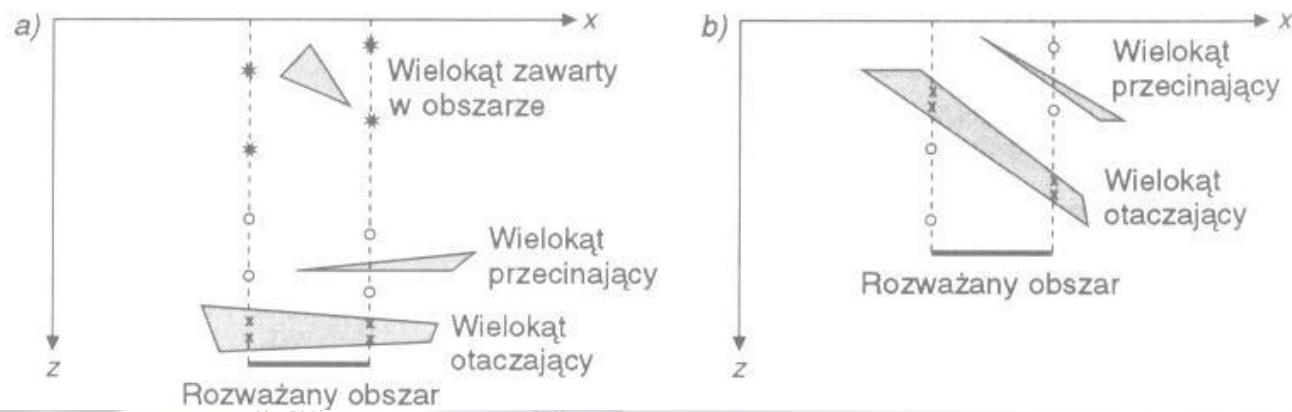
- W **czterech przypadkach** można łatwo podjąć **decyzję** co do obszaru i nie musi on być dalej dzielony:
 1. Wszystkie wielokąty są **rozłączne** względem obszaru – obszar można wypełnić **barwą tła**.
 2. Jest **tylko jeden** wielokąt **przecinający** lub tylko jeden wielokąt **zawarty**
 - obszar jest **najpierw** wypełniany **barwą tła**,
 - potem wykonuje się **rasteryzację** wielokąta **zawartego** lub **części** wielokąta **przecinającego**
 3. Jest **jeden** wielokąt **otaczający** i **nie ma** wielokątów **przecinających** ani **zawartych**. – obszar jest wypełniany **barwą** wielokąta **otaczającego**.
 4. Jest **więcej** niż jeden wielokąt **przecinający**, **zawarty** albo **otaczający** obszar, ale **tylko jeden** wielokąt **otaczający** jest **przed wszystkimi** innymi wielokątami – obszar jest wypełniany **barwą** wielokąta **otaczającego**.

Algorytm Warnocka

- **Sprawdzenie**, czy wielokąt otaczający jest **z przodu**, wykonuje się na zasadzie obliczania **współrzędnych z** we **wszystkich czterech** rogach obszaru wykorzystując równania płaszczyzn wszystkich wielokątów **otaczających, przecinających i zawartych**
- jeżeli jest wielokąt **otaczający**, dla którego współrzędne **z** czterech rogów **są większe** (bliżej obserwatorowi) niż dla **każdego innego** wielokąta, to cały obszar może być wypełniony **barwą** tego wielokąta **otaczającego**.
- Przypadki 1, 2 i 3 są łatwe do zrozumienia.
- Przypadek **4** jest dodatkowo **zilustrowany** na rysunku



Algorytm Warnocka



- W części a) **wszystkie cztery** przecięcia wielokąta **otaczającego** są **bliźsze** punktu obserwacji (który jest w nieskończoności na osi **z** niż jakiegokolwiek inne przecięcia).
- W konsekwencji **cały obszar** jest wypełniony **barwą** wielokąta **otaczającego**.
- W części b) **nie można podjąć decyzji**, chociaż wielokąt **otaczający** wydaje się być **z przodu** wielokąta przecinającego, ponieważ **z lewej strony** płaszczyzna wielokąta **przecinającego** jest **przed** płaszczyzną wielokąta **otaczającego**.
- Algorytm Warnocka **zawsze dzieli obszar** w celu **uproszczenia** problemu.
- **Po podziale** trzeba **ponownie** sprawdzić jedynie wielokąty **zawarte** i **przecinające**.
- Wielokąty **otaczające** i **rozłączne** względem oryginalnego obszaru są wielokątami otaczającymi i rozłącznymi **każdego obszaru** otrzymanego w wyniku podziału.

Algorytm Warnocka

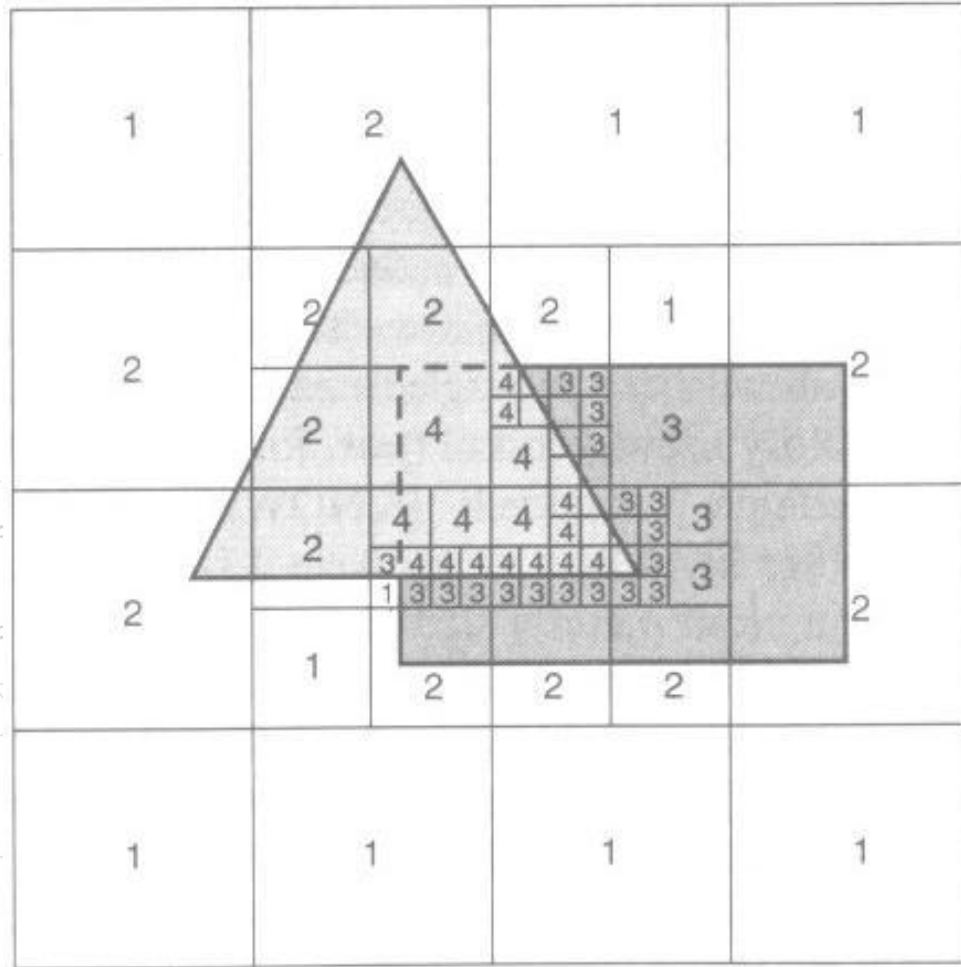
- Do tego momentu algorytm **działał z precyzją obiektową**, z **wyjątkiem rasteryzacji** tła i wielokątów obciętych w czterech przypadkach.
- Jednak te **operacje rasteryzacji** z precyzją **obrazową** można **zastąpić** operacjami z precyzją **obektową**, które dają **dokładną** reprezentację widocznych powierzchni:
 - albo kwadrat o wielkości obszaru (przypadki 1, 3 i 4),
 - albo wielokąt obcięty do obszaru, wraz z boolowskim uzupełnieniem względem obszaru reprezentującego widzialną część tła (przypadek 2).
- A co z przypadkami **innymi** niż te cztery?
- **Jedno** z rozwiązań polega na **zatrzymaniu podziału** po osiągnięciu **rozdzielczości** urządzenia wyświetlającego.

Algorytm Warnocka

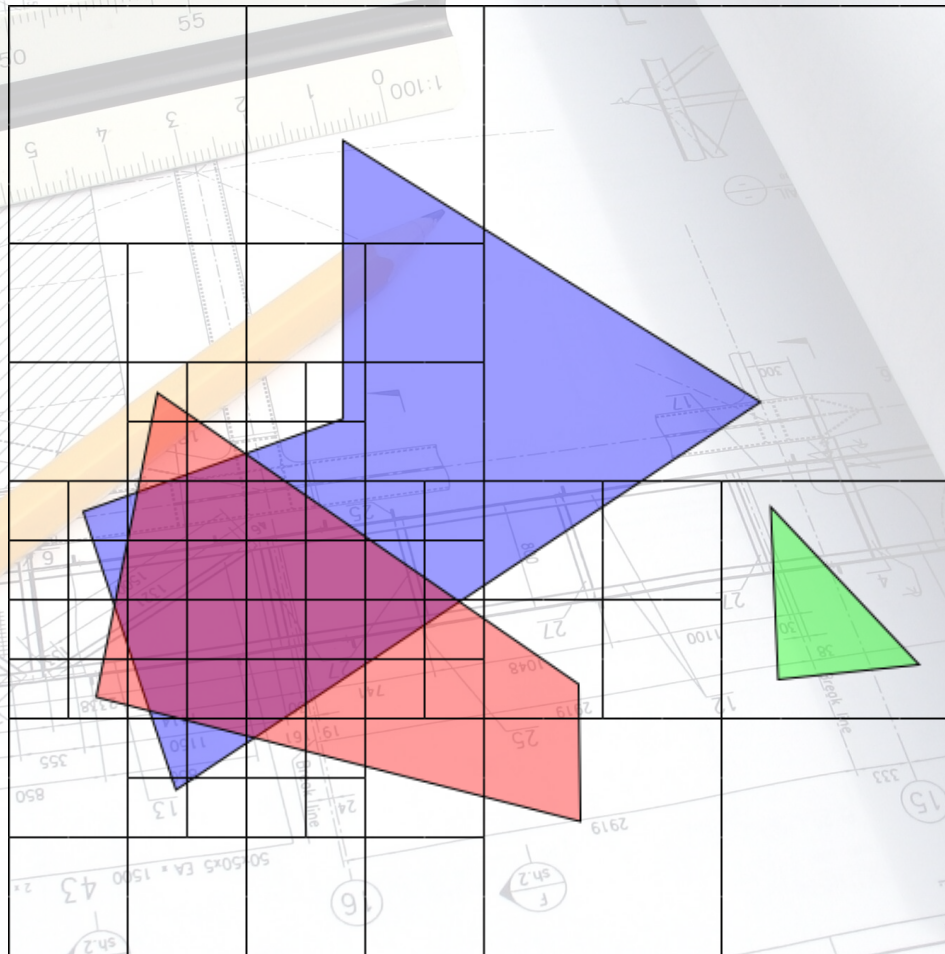
- Dlatego w urządzeniu wyświetlającym o rozdzielczości rastra **1024 x 1024** trzeba najwyżej **10 poziomów** podziału.
- Jeżeli po tej maksymalnej liczbie podziałów **nie wystąpi żaden** z przypadków od 1 do 4, to oblicza się **głębokość** wszystkich odpowiednich **wielokątów** w **środku** tego **niepodzielonego** obszaru o wielkości **piksela**.
- Wielokąt o **najbliższej** współrzędnej **z** określa **barwę** obszaru.
- Można też ze względu na problem **eliminacji zakłóceń** użyć **kilku dalszych** poziomów podziału w celu określenia **barwy piksela** na zasadzie przypisania każdemu obszarowi **podpikselowemu wag** zależnych od **wielkości** obszaru.
- Ta właśnie operacja wykonywana **wówczas**, gdy dla obszaru **nie zachodzi** jeden z prostych przypadków
- W efekcie **decyduje** o tym, że jest to podejście z **precyzją obrazową**.

Algorytm Warnocka

- Na rysunku pokazano prostą **scenę** i **podział** potrzebny do jej wyświetlenia.
- **Liczba** w każdym obszarze podziału odpowiada **jednemu** z czterech przypadków
- Tam gdzie nie jest wpisana **żadna liczba**, nie zachodzi **żaden** z tych **czterech** przypadków.



Algorytm Warnocka



A technical drawing of a mechanical part, possibly a bracket or a support structure, is shown. The drawing includes various dimensions, lines, and annotations. A yellow ruler is placed horizontally across the top of the drawing, and a yellow pencil is positioned diagonally across the middle. The drawing features a complex arrangement of lines, including a hatched area, and various numerical values. A semi-transparent white box with red text is overlaid on the right side of the drawing.

Algorytmy wyznaczania powierzchni krzywoliniowych

Algorytmy wyznaczania powierzchni krzywoliniowych

- Wszystkie dotychczas prezentowane algorytmy, z wyjątkiem z-bufora, były zdefiniowane dla **ścian** wielokątowych.
- Obiekty takie jak powierzchnie **krzywoliniowe** muszą być najpierw **aproksymowane** za pomocą wielu małych **ścianek**, zanim można użyć wielokątowej wersji któregoś z algorytmów.
- Chociaż można zrobić taką aproksymację, często lepiej jest bezpośrednio wykonać **rasteryzację** powierzchni **krzywoliniowej**, eliminując zakłócenia wielokątowe i dodatkową pamięć potrzebną do aproksymacji wielokątowej.
- W grafice komputerowej są popularne powierzchnie **drugiego stopnia** – tzw. **kwadryki**.
- Algorytmy wyznaczania powierzchni widocznych dla powierzchni drugiego stopnia zostały opracowane przez Weissa, Woona, Mahla, i Sarraga.

Algorytmy wyznaczania powierzchni krzywoliniowych

- Znajdują oni **przecięcia dwóch powierzchni** drugiego stopnia, co prowadzi do **równań czwartego stopnia** dla zmiennych x , y i z , których pierwiastki trzeba znajdować numerycznie.
- Levin **redukuje** to do problemu **drugiego** stopnia przez **parametryzowanie krzywych** przecięcia.
- **Kule**, będące **specjalnym** przypadkiem powierzchni drugiego stopnia, są najłatwiejsze z tego punktu widzenia
- Są one szczególnie **interesujące** ze względu na to, że **cząsteczki** są często wyświetlane jako zbiory barwnych kul.
- Opracowano wiele algorytmów **wyświetlania cząsteczek**.
- **Rendering** kuli można wykonać metodą **śledzenia promieni**.

Algorytmy wyznaczania powierzchni krzywoliniowych

- Jeszcze **większą elastyczność** można osiągnąć w przypadku **parametrycznych** powierzchni **sklejanych**, ponieważ są one bardziej ogólne i umożliwiają zapewnienie **ciągłości stycznej** na granicach płatów.
- Catmull jako pierwszy opracował algorytm wyświetlania dla powierzchni **bikubicznych**.
- Zgodnie z algorytmem **Warnocka** płat jest rekursywnie **dzielony** w kierunkach **s** i **t** na **cztery** płaty dopóty, dopóki ich **rzuty** pokrywają więcej niż 1 piksel.
- Algorytm **z-bufora** określa, czy płat jest **widoczny** w tym pikselu.
- Jeżeli **tak**, to oblicza się **barwę** i umieszczają w **pamięci** obrazu.

Algorytmy wyznaczania powierzchni krzywoliniowych

- W innym podejściu wykorzystuje się **adaptacyjny podział** każdego **płata** bikubicznego dopóty, dopóki dzielony płat nie znajdzie się w zakresie przyjętej **tolerancji płaskości**.
- Ta tolerancja **zależy** od **rozdzielczości** urządzenia wyświetlającego i **orientacji** dzielonego obszaru **względem rzutni**, tak że jest eliminowane niepotrzebne dzielenie.
- Płat może być dzielony tylko w **jednym** kierunku, jeżeli jest już wystarczająco **płaski** w **drugim** kierunku.
- Po **dostatecznym** podziale płat może być **traktowany** jak czworokąt.
- **Małe wielokąty** określone przez **cztery rogi** każdego **płatu** są przetwarzane za pomocą algorytmu **przeglądania wierszami**,
- Umożliwia to **mieszanie** powierzchni **wielokątowych** i **bikubicznych**.
- Algorytmy wykorzystujące tę podstawową ideę zostały opracowane przez Lane'a i Carpentera oraz Clarka.

Względne oszacowanie wydajności czterech algorytmów

Algorytm	Liczba wielokątów w scenie		
	100	2500	60000
Sortowanie ze względu na głębokość	1*	10	507
z-bufor	54	54	54
Przeglądanie wierszy	5	21	100
Podział obszaru Warnocka	11	64	307

* Elementy w tablicy zostały tak znormalizowane, żeby w tym miejscu było 1